



Сибирское отделение Российской Академии наук  
институт ЯДЕРНОЙ ФИЗИКИ им. Г.И. Будкера

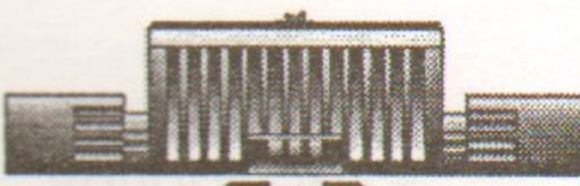
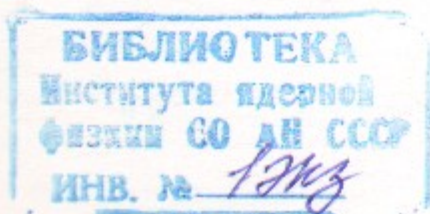
т. 86  
1998

Г.А. Артин, Н.С. Бучельникова

**ВОЛНЫ БГК  
И МОДУЛЯЦИОННАЯ НЕУСТОЙЧИВОСТЬ  
ПРИ ВЗАИМОДЕЙСТВИИ ХОЛОДНОГО  
ЭЛЕКТРОННОГО ПУЧКА С ПЛАЗМОЙ. III.**

ИЯФ 98-38

<http://www.inp.nsk.su/publications>



НОВОСИБИРСК  
1998

# Волны БГК и модуляционная неустойчивость при взаимодействии холодного электронного пучка с плазмой. III.

Г.А. Артин, Н.С. Бучельникова

Институт ядерной физики им. Г.И.Будкера СО РАН  
630090 Новосибирск, Россия

## Аннотация

Проведены численные эксперименты (метод частиц в ячейках) по исследованию неустойчивости холодного пучка электронов с параметрами  $V_o/V_T = 15,9$ ;  $n_b/n_o = (4 - 30) \cdot 10^{-2}$  в одномерной бесстолкновительной плазме с подвижными ионами в "короткой" системе  $L = \lambda = 100r_d$ .

Показано, что развитие пучковой неустойчивости сопровождается сателлитной и модуляционной неустойчивостью. При  $n_b/n_o = (4 - 6) \cdot 10^{-2}$  модуляционная неустойчивость приводит к коллапсу, затуханию электрического поля и поглощению его энергии электронами плазмы. При  $n_b/n_o = (10 - 30) \cdot 10^{-2}$  определяющую роль играет захват и ускорение электронов плазмы развивающейся при пучковой неустойчивости волной, что приводит к затуханию поля. Модуляционная неустойчивость развивается на остаточном поле и приводит к его затуханию.

## Interaction of cold electron beam with plasma. BGK waves and modulational instability. III.

G.A. Artin, N.S. Buchelnikova

Budker Institute of Nuclear Physics  
630090 Novosibirsk, Russia

## Abstract

The instability of a cold electron beam ( $V_o/V_T = 15,9$ ;  $n_b/n_o \sim (4 - 30) \cdot 10^{-2}$ ) in onedimensional collisionless plasma with mobile ions in a "short" system ( $L = \lambda = 100r_d$ ) was studied in numerical experiments (PIC-method).

It was shown, that the evolution of the beam-plasma instability is followed by the sideband instability and the modulational instability. If  $n_b/n_o \sim (4 - 6) \cdot 10^{-2}$ , the modulational instability leads to the collapse and to the absorption of the electric field energy by the plasma electrons. If  $n_b/n_o \sim (10 - 30) \cdot 10^{-2}$ , the trapping and the acceleration of the plasma electrons by the wave excited due to the beam-plasma instability leads to the damping of the field. The modulational instability leads to the damping of the residual field.

© Институт ядерной физики им. Г.И.Будкера СО РАН

На рис. 1,2 показано изменение от времени коэффициента затухания  $\gamma = 1/\tau$  для различных начальных условий. На рис. 1 изображены результаты для  $n_b/n_o = 5 \cdot 10^{-3}$ . На рис. 2 — для  $n_b/n_o = (1 - 2) \cdot 10^{-2}$ . На рис. 3 — для  $n_b/n_o = (4 - 30) \cdot 10^{-2}$ . На рис. 4 — для  $n_b/n_o = 10 \cdot 10^{-2}$ . На рис. 5 — для  $n_b/n_o = 30 \cdot 10^{-2}$ . На рис. 6 — для  $n_b/n_o = 4 \cdot 10^{-2}$ . На рис. 7 — для  $n_b/n_o = 6 \cdot 10^{-2}$ . На рис. 8 — для  $n_b/n_o = 10 \cdot 10^{-2}$ . На рис. 9 — для  $n_b/n_o = 15 \cdot 10^{-2}$ . На рис. 10 — для  $n_b/n_o = 20 \cdot 10^{-2}$ . На рис. 11 — для  $n_b/n_o = 25 \cdot 10^{-2}$ . На рис. 12 — для  $n_b/n_o = 30 \cdot 10^{-2}$ . На рис. 13 — для  $n_b/n_o = 35 \cdot 10^{-2}$ . На рис. 14 — для  $n_b/n_o = 40 \cdot 10^{-2}$ . На рис. 15 — для  $n_b/n_o = 45 \cdot 10^{-2}$ . На рис. 16 — для  $n_b/n_o = 50 \cdot 10^{-2}$ . На рис. 17 — для  $n_b/n_o = 55 \cdot 10^{-2}$ . На рис. 18 — для  $n_b/n_o = 60 \cdot 10^{-2}$ . На рис. 19 — для  $n_b/n_o = 65 \cdot 10^{-2}$ . На рис. 20 — для  $n_b/n_o = 70 \cdot 10^{-2}$ . На рис. 21 — для  $n_b/n_o = 75 \cdot 10^{-2}$ . На рис. 22 — для  $n_b/n_o = 80 \cdot 10^{-2}$ . На рис. 23 — для  $n_b/n_o = 85 \cdot 10^{-2}$ . На рис. 24 — для  $n_b/n_o = 90 \cdot 10^{-2}$ . На рис. 25 — для  $n_b/n_o = 95 \cdot 10^{-2}$ . На рис. 26 — для  $n_b/n_o = 100 \cdot 10^{-2}$ . На рис. 27 — для  $n_b/n_o = 105 \cdot 10^{-2}$ . На рис. 28 — для  $n_b/n_o = 110 \cdot 10^{-2}$ . На рис. 29 — для  $n_b/n_o = 115 \cdot 10^{-2}$ . На рис. 30 — для  $n_b/n_o = 120 \cdot 10^{-2}$ . На рис. 31 — для  $n_b/n_o = 125 \cdot 10^{-2}$ . На рис. 32 — для  $n_b/n_o = 130 \cdot 10^{-2}$ . На рис. 33 — для  $n_b/n_o = 135 \cdot 10^{-2}$ . На рис. 34 — для  $n_b/n_o = 140 \cdot 10^{-2}$ . На рис. 35 — для  $n_b/n_o = 145 \cdot 10^{-2}$ . На рис. 36 — для  $n_b/n_o = 150 \cdot 10^{-2}$ . На рис. 37 — для  $n_b/n_o = 155 \cdot 10^{-2}$ . На рис. 38 — для  $n_b/n_o = 160 \cdot 10^{-2}$ . На рис. 39 — для  $n_b/n_o = 165 \cdot 10^{-2}$ . На рис. 40 — для  $n_b/n_o = 170 \cdot 10^{-2}$ . На рис. 41 — для  $n_b/n_o = 175 \cdot 10^{-2}$ . На рис. 42 — для  $n_b/n_o = 180 \cdot 10^{-2}$ . На рис. 43 — для  $n_b/n_o = 185 \cdot 10^{-2}$ . На рис. 44 — для  $n_b/n_o = 190 \cdot 10^{-2}$ . На рис. 45 — для  $n_b/n_o = 195 \cdot 10^{-2}$ . На рис. 46 — для  $n_b/n_o = 200 \cdot 10^{-2}$ . На рис. 47 — для  $n_b/n_o = 205 \cdot 10^{-2}$ . На рис. 48 — для  $n_b/n_o = 210 \cdot 10^{-2}$ . На рис. 49 — для  $n_b/n_o = 215 \cdot 10^{-2}$ . На рис. 50 — для  $n_b/n_o = 220 \cdot 10^{-2}$ . На рис. 51 — для  $n_b/n_o = 225 \cdot 10^{-2}$ . На рис. 52 — для  $n_b/n_o = 230 \cdot 10^{-2}$ . На рис. 53 — для  $n_b/n_o = 235 \cdot 10^{-2}$ . На рис. 54 — для  $n_b/n_o = 240 \cdot 10^{-2}$ . На рис. 55 — для  $n_b/n_o = 245 \cdot 10^{-2}$ . На рис. 56 — для  $n_b/n_o = 250 \cdot 10^{-2}$ . На рис. 57 — для  $n_b/n_o = 255 \cdot 10^{-2}$ . На рис. 58 — для  $n_b/n_o = 260 \cdot 10^{-2}$ . На рис. 59 — для  $n_b/n_o = 265 \cdot 10^{-2}$ . На рис. 60 — для  $n_b/n_o = 270 \cdot 10^{-2}$ . На рис. 61 — для  $n_b/n_o = 275 \cdot 10^{-2}$ . На рис. 62 — для  $n_b/n_o = 280 \cdot 10^{-2}$ . На рис. 63 — для  $n_b/n_o = 285 \cdot 10^{-2}$ . На рис. 64 — для  $n_b/n_o = 290 \cdot 10^{-2}$ . На рис. 65 — для  $n_b/n_o = 295 \cdot 10^{-2}$ . На рис. 66 — для  $n_b/n_o = 300 \cdot 10^{-2}$ . На рис. 67 — для  $n_b/n_o = 305 \cdot 10^{-2}$ . На рис. 68 — для  $n_b/n_o = 310 \cdot 10^{-2}$ . На рис. 69 — для  $n_b/n_o = 315 \cdot 10^{-2}$ . На рис. 70 — для  $n_b/n_o = 320 \cdot 10^{-2}$ . На рис. 71 — для  $n_b/n_o = 325 \cdot 10^{-2}$ . На рис. 72 — для  $n_b/n_o = 330 \cdot 10^{-2}$ . На рис. 73 — для  $n_b/n_o = 335 \cdot 10^{-2}$ . На рис. 74 — для  $n_b/n_o = 340 \cdot 10^{-2}$ . На рис. 75 — для  $n_b/n_o = 345 \cdot 10^{-2}$ . На рис. 76 — для  $n_b/n_o = 350 \cdot 10^{-2}$ . На рис. 77 — для  $n_b/n_o = 355 \cdot 10^{-2}$ . На рис. 78 — для  $n_b/n_o = 360 \cdot 10^{-2}$ . На рис. 79 — для  $n_b/n_o = 365 \cdot 10^{-2}$ . На рис. 80 — для  $n_b/n_o = 370 \cdot 10^{-2}$ . На рис. 81 — для  $n_b/n_o = 375 \cdot 10^{-2}$ . На рис. 82 — для  $n_b/n_o = 380 \cdot 10^{-2}$ . На рис. 83 — для  $n_b/n_o = 385 \cdot 10^{-2}$ . На рис. 84 — для  $n_b/n_o = 390 \cdot 10^{-2}$ . На рис. 85 — для  $n_b/n_o = 395 \cdot 10^{-2}$ . На рис. 86 — для  $n_b/n_o = 400 \cdot 10^{-2}$ . На рис. 87 — для  $n_b/n_o = 405 \cdot 10^{-2}$ . На рис. 88 — для  $n_b/n_o = 410 \cdot 10^{-2}$ . На рис. 89 — для  $n_b/n_o = 415 \cdot 10^{-2}$ . На рис. 90 — для  $n_b/n_o = 420 \cdot 10^{-2}$ . На рис. 91 — для  $n_b/n_o = 425 \cdot 10^{-2}$ . На рис. 92 — для  $n_b/n_o = 430 \cdot 10^{-2}$ . На рис. 93 — для  $n_b/n_o = 435 \cdot 10^{-2}$ . На рис. 94 — для  $n_b/n_o = 440 \cdot 10^{-2}$ . На рис. 95 — для  $n_b/n_o = 445 \cdot 10^{-2}$ . На рис. 96 — для  $n_b/n_o = 450 \cdot 10^{-2}$ . На рис. 97 — для  $n_b/n_o = 455 \cdot 10^{-2}$ . На рис. 98 — для  $n_b/n_o = 460 \cdot 10^{-2}$ . На рис. 99 — для  $n_b/n_o = 465 \cdot 10^{-2}$ . На рис. 100 — для  $n_b/n_o = 470 \cdot 10^{-2}$ . На рис. 101 — для  $n_b/n_o = 475 \cdot 10^{-2}$ . На рис. 102 — для  $n_b/n_o = 480 \cdot 10^{-2}$ . На рис. 103 — для  $n_b/n_o = 485 \cdot 10^{-2}$ . На рис. 104 — для  $n_b/n_o = 490 \cdot 10^{-2}$ . На рис. 105 — для  $n_b/n_o = 495 \cdot 10^{-2}$ . На рис. 106 — для  $n_b/n_o = 500 \cdot 10^{-2}$ . На рис. 107 — для  $n_b/n_o = 505 \cdot 10^{-2}$ . На рис. 108 — для  $n_b/n_o = 510 \cdot 10^{-2}$ . На рис. 109 — для  $n_b/n_o = 515 \cdot 10^{-2}$ . На рис. 110 — для  $n_b/n_o = 520 \cdot 10^{-2}$ . На рис. 111 — для  $n_b/n_o = 525 \cdot 10^{-2}$ . На рис. 112 — для  $n_b/n_o = 530 \cdot 10^{-2}$ . На рис. 113 — для  $n_b/n_o = 535 \cdot 10^{-2}$ . На рис. 114 — для  $n_b/n_o = 540 \cdot 10^{-2}$ . На рис. 115 — для  $n_b/n_o = 545 \cdot 10^{-2}$ . На рис. 116 — для  $n_b/n_o = 550 \cdot 10^{-2}$ . На рис. 117 — для  $n_b/n_o = 555 \cdot 10^{-2}$ . На рис. 118 — для  $n_b/n_o = 560 \cdot 10^{-2}$ . На рис. 119 — для  $n_b/n_o = 565 \cdot 10^{-2}$ . На рис. 120 — для  $n_b/n_o = 570 \cdot 10^{-2}$ . На рис. 121 — для  $n_b/n_o = 575 \cdot 10^{-2}$ . На рис. 122 — для  $n_b/n_o = 580 \cdot 10^{-2}$ . На рис. 123 — для  $n_b/n_o = 585 \cdot 10^{-2}$ . На рис. 124 — для  $n_b/n_o = 590 \cdot 10^{-2}$ . На рис. 125 — для  $n_b/n_o = 595 \cdot 10^{-2}$ . На рис. 126 — для  $n_b/n_o = 600 \cdot 10^{-2}$ . На рис. 127 — для  $n_b/n_o = 605 \cdot 10^{-2}$ . На рис. 128 — для  $n_b/n_o = 610 \cdot 10^{-2}$ . На рис. 129 — для  $n_b/n_o = 615 \cdot 10^{-2}$ . На рис. 130 — для  $n_b/n_o = 620 \cdot 10^{-2}$ . На рис. 131 — для  $n_b/n_o = 625 \cdot 10^{-2}$ . На рис. 132 — для  $n_b/n_o = 630 \cdot 10^{-2}$ . На рис. 133 — для  $n_b/n_o = 635 \cdot 10^{-2}$ . На рис. 134 — для  $n_b/n_o = 640 \cdot 10^{-2}$ . На рис. 135 — для  $n_b/n_o = 645 \cdot 10^{-2}$ . На рис. 136 — для  $n_b/n_o = 650 \cdot 10^{-2}$ . На рис. 137 — для  $n_b/n_o = 655 \cdot 10^{-2}$ . На рис. 138 — для  $n_b/n_o = 660 \cdot 10^{-2}$ . На рис. 139 — для  $n_b/n_o = 665 \cdot 10^{-2}$ . На рис. 140 — для  $n_b/n_o = 670 \cdot 10^{-2}$ . На рис. 141 — для  $n_b/n_o = 675 \cdot 10^{-2}$ . На рис. 142 — для  $n_b/n_o = 680 \cdot 10^{-2}$ . На рис. 143 — для  $n_b/n_o = 685 \cdot 10^{-2}$ . На рис. 144 — для  $n_b/n_o = 690 \cdot 10^{-2}$ . На рис. 145 — для  $n_b/n_o = 695 \cdot 10^{-2}$ . На рис. 146 — для  $n_b/n_o = 700 \cdot 10^{-2}$ . На рис. 147 — для  $n_b/n_o = 705 \cdot 10^{-2}$ . На рис. 148 — для  $n_b/n_o = 710 \cdot 10^{-2}$ . На рис. 149 — для  $n_b/n_o = 715 \cdot 10^{-2}$ . На рис. 150 — для  $n_b/n_o = 720 \cdot 10^{-2}$ . На рис. 151 — для  $n_b/n_o = 725 \cdot 10^{-2}$ . На рис. 152 — для  $n_b/n_o = 730 \cdot 10^{-2}$ . На рис. 153 — для  $n_b/n_o = 735 \cdot 10^{-2}$ . На рис. 154 — для  $n_b/n_o = 740 \cdot 10^{-2}$ . На рис. 155 — для  $n_b/n_o = 745 \cdot 10^{-2}$ . На рис. 156 — для  $n_b/n_o = 750 \cdot 10^{-2}$ . На рис. 157 — для  $n_b/n_o = 755 \cdot 10^{-2}$ . На рис. 158 — для  $n_b/n_o = 760 \cdot 10^{-2}$ . На рис. 159 — для  $n_b/n_o = 765 \cdot 10^{-2}$ . На рис. 160 — для  $n_b/n_o = 770 \cdot 10^{-2}$ . На рис. 161 — для  $n_b/n_o = 775 \cdot 10^{-2}$ . На рис. 162 — для  $n_b/n_o = 780 \cdot 10^{-2}$ . На рис. 163 — для  $n_b/n_o = 785 \cdot 10^{-2}$ . На рис. 164 — для  $n_b/n_o = 790 \cdot 10^{-2}$ . На рис. 165 — для  $n_b/n_o = 795 \cdot 10^{-2}$ . На рис. 166 — для  $n_b/n_o = 800 \cdot 10^{-2}$ . На рис. 167 — для  $n_b/n_o = 805 \cdot 10^{-2}$ . На рис. 168 — для  $n_b/n_o = 810 \cdot 10^{-2}$ . На рис. 169 — для  $n_b/n_o = 815 \cdot 10^{-2}$ . На рис. 170 — для  $n_b/n_o = 820 \cdot 10^{-2}$ . На рис. 171 — для  $n_b/n_o = 825 \cdot 10^{-2}$ . На рис. 172 — для  $n_b/n_o = 830 \cdot 10^{-2}$ . На рис. 173 — для  $n_b/n_o = 835 \cdot 10^{-2}$ . На рис. 174 — для  $n_b/n_o = 840 \cdot 10^{-2}$ . На рис. 175 — для  $n_b/n_o = 845 \cdot 10^{-2}$ . На рис. 176 — для  $n_b/n_o = 850 \cdot 10^{-2}$ . На рис. 177 — для  $n_b/n_o = 855 \cdot 10^{-2}$ . На рис. 178 — для  $n_b/n_o = 860 \cdot 10^{-2}$ . На рис. 179 — для  $n_b/n_o = 865 \cdot 10^{-2}$ . На рис. 180 — для  $n_b/n_o = 870 \cdot 10^{-2}$ . На рис. 181 — для  $n_b/n_o = 875 \cdot 10^{-2}$ . На рис. 182 — для  $n_b/n_o = 880 \cdot 10^{-2}$ . На рис. 183 — для  $n_b/n_o = 885 \cdot 10^{-2}$ . На рис. 184 — для  $n_b/n_o = 890 \cdot 10^{-2}$ . На рис. 185 — для  $n_b/n_o = 895 \cdot 10^{-2}$ . На рис. 186 — для  $n_b/n_o = 900 \cdot 10^{-2}$ . На рис. 187 — для  $n_b/n_o = 905 \cdot 10^{-2}$ . На рис. 188 — для  $n_b/n_o = 910 \cdot 10^{-2}$ . На рис. 189 — для  $n_b/n_o = 915 \cdot 10^{-2}$ . На рис. 190 — для  $n_b/n_o = 920 \cdot 10^{-2}$ . На рис. 191 — для  $n_b/n_o = 925 \cdot 10^{-2}$ . На рис. 192 — для  $n_b/n_o = 930 \cdot 10^{-2}$ . На рис. 193 — для  $n_b/n_o = 935 \cdot 10^{-2}$ . На рис. 194 — для  $n_b/n_o = 940 \cdot 10^{-2}$ . На рис. 195 — для  $n_b/n_o = 945 \cdot 10^{-2}$ . На рис. 196 — для  $n_b/n_o = 950 \cdot 10^{-2}$ . На рис. 197 — для  $n_b/n_o = 955 \cdot 10^{-2}$ . На рис. 198 — для  $n_b/n_o = 960 \cdot 10^{-2}$ . На рис. 199 — для  $n_b/n_o = 965 \cdot 10^{-2}$ . На рис. 200 — для  $n_b/n_o = 970 \cdot 10^{-2}$ . На рис. 201 — для  $n_b/n_o = 975 \cdot 10^{-2}$ . На рис. 202 — для  $n_b/n_o = 980 \cdot 10^{-2}$ . На рис. 203 — для  $n_b/n_o = 985 \cdot 10^{-2}$ . На рис. 204 — для  $n_b/n_o = 990 \cdot 10^{-2}$ . На рис. 205 — для  $n_b/n_o = 995 \cdot 10^{-2}$ . На рис. 206 — для  $n_b/n_o = 1000 \cdot 10^{-2}$ . На рис. 207 — для  $n_b/n_o = 1005 \cdot 10^{-2}$ . На рис. 208 — для  $n_b/n_o = 1010 \cdot 10^{-2}$ . На рис. 209 — для  $n_b/n_o = 1015 \cdot 10^{-2}$ . На рис. 210 — для  $n_b/n_o = 1020 \cdot 10^{-2}$ . На рис. 211 — для  $n_b/n_o = 1025 \cdot 10^{-2}$ . На рис. 212 — для  $n_b/n_o = 1030 \cdot 10^{-2}$ . На рис. 213 — для  $n_b/n_o = 1035 \cdot 10^{-2}$ . На рис. 214 — для

$n_b/n_o \sim (10 - 30) \cdot 10^{-2}$  особенности развития пучковой и модуляционной неустойчивости определяются захватом возбуждающейся волной не только электронов пучка, но и электронов плазмы.

Численный эксперимент выполняется методом частиц в ячейках. Рассматривается одномерная система длиной  $L/r_d = 100$  с периодическими граничными условиями. Для электронов и ионов плазмы задается максвелловское распределение по скоростям с  $T_e/T_i = 30$ ,  $M/m = 10^2$ , обрезанное на скорости  $V \sim \pm 2,8V_T$  из-за ограниченности числа счетных частиц ( $N^e \sim 10^5$  на длине  $100r_d$ ).

Задается холодный (монохроматический) пучок со скоростью  $V_o/V_T = 15,9$ . Для эффективного увеличения числа частиц пучка применяется метод “взвешивания”, эквивалентный тому, что один электрон дробится на  $\beta$  частиц ( $b$ -электронов) с массой  $m/\beta$  и зарядом  $e/\beta$ , но с тем же отношением  $e/m$ , как у электрона.

Рассматриваются четыре случая.

В случае 1-4  $n_b/n_o = 4 \cdot 10^{-2}$ ; число электронов пучка на длине  $L/r_d = 100$   $N^b = 4 \cdot 10^3$ ; число “взвешенных”  $b$ -электронов  $N^{b\prime} = 1 \cdot 10^4$ ; энергия электронов пучка  $W_b^o/W_e^o = 10,375$  ( $W_e^o$  — тепловая энергия электронов плазмы).

В случае 1-5  $n_b/n_o = 6 \cdot 10^{-2}$ ;  $N^b = 6 \cdot 10^3$ ;  $N^{b\prime} = 1 \cdot 10^4$ ;  $W_b^o/W_e^o = 15,562$ .

В случае 1-6  $n_b/n_o = 10 \cdot 10^{-2}$ ;  $N^b = 1 \cdot 10^4$ ;  $N^{b\prime} = 1 \cdot 10^4$ ;  $W_b^o/W_e^o = 25,936$ .

В случае 1-7  $n_b/n_o = 30 \cdot 10^{-2}$ ;  $N^b = 3 \cdot 10^4$ ;  $N^{b\prime} = 3 \cdot 10^4$ ;  $W_b^o/W_e^o = 77,809$ .

Во всех случаях в начальный момент времени задается затравочная ленгмюровская волна малой амплитуды  $E_o/(mr_d/eT_{oe}^2) = 1$  с длиной волны  $\lambda/r_d = 100$ , номером гармоники  $N = L/\lambda = 1$  и фазовой скоростью  $V_\Phi/V_T = 16,1$ .

В начальный момент задается 100 пробных частиц ( $e = m = 0$ ,  $e/m$  то же, что у электрона) со скоростью, равной скорости электронов пучка  $V_o/V_T = 15,9$ , равномерно распределенных по длине системы. Прослеживается 18 траекторий пробных частиц на фазовой плоскости.

Подробности постановки и описания численного эксперимента приведены в работе [1].

Отметим, что в тексте и на рисунках поле  $E$  и амплитуда гармоник  $E^N$  нормируется на  $mr_d/eT_{oe}^2$ .

Рассмотрим случай 1-4:  $L/r_d = 100$ ;  $V_o/V_T = 15,9$ ;  $n_b/n_o = 4 \cdot 10^{-2}$ ;  $\frac{W_b^o}{W_e^o} = 10,4$  и случай 1-5:  $L/r_d = 100$ ;  $V_o/V_T = 15,9$ ;  $n_b/n_o = 6 \cdot 10^{-2}$ ;  $\frac{W_b^o}{W_e^o} = 15,6$ .

На рис. 1–7 показана зависимость от времени потерь энергии электронов пучка  $\Delta W_b = -(W_b - W_b^o)$ , энергии электрического поля  $W_E$  и энергии электронов плазмы  $\Delta W_e = W_e - W_e^o$  (рис. 1,6), амплитуды гармоник поля  $E^N$  (рис. 2,3,7) и амплитуды гармоник возмущения плотности  $\tilde{n}^N$  (рис. 4,5) для случаев 1-4 (рис. 1–4) и 1-5 (рис. 5–7). Для случая 1-4 приведены также фазовые плоскости электронов (рис. 8), функции распределения по скорости электронов плазмы и пучка ( $b$ -электронов) (рис. 9), распределение поля  $E(x)$ , возмущения плотности плазмы  $\tilde{n}(x)$  и возмущения плотности электронов пучка  $\tilde{n}_b(x)$  (рис. 10), фазовые плоскости ионов (рис. 11), траектории электронов (пробных частиц) на фазовой плоскости (рис. 12–15). На рис. 34–37 показаны сравнительные рисунки для случаев 1-4–1-7.

По кривым  $W(t)$ ,  $E^N(t)$  (рис. 1–3,6,7) и фазовым плоскостям (рис. 8) видно, что в случаях 1-4 и 1-5 начальная стадия неустойчивости имеет тот же характер, что и в случаях 1-1–1-3 [1,2]. Из рис. 2,3,7 видно, что с самого начала выделяется гармоника  $N = 1$  с длиной волны  $\lambda/r_d = 100 = L/r_d$ . Нелинейная стадия неустойчивости определяется захватом электронов пучка (рис. 8). Первый максимум кривой  $E^I(t)$  в случае 1-4 достигается в  $t/T_{oe} \sim 5,3$ , при этом  $E_{max}^I \sim 73,2$ ;  $V_{3max} = 2\sqrt{\frac{e\varphi_{max}}{m}} \sim 10,9V_T$ ;  $W_{Emax} \sim 2,15W_e^o \sim 0,21W_b^o$ ;  $\Delta W_{bmax} \sim 5,02W_e^o \sim 0,48W_b^o$ ; в случае 1-5 —  $t/T_{oe} \sim 5,1$ ;  $E_{max}^I \sim 89,3$ ;  $V_{3max} \sim 12,0V_T$ ;  $W_{Emax} \sim 3,35W_e^o \sim 0,22W_b^o$ ;  $\Delta W_{bmax} \sim 8,11W_e^o \sim 0,52W_b^o$ .

В обоих случаях, так же как в случаях 1-2, 1-3 [2], немного позже гармоники  $N = 1$  начинает расти гармоника  $N = 2$  (рис. 2,3,7), что свидетельствует о развитии сателлитной неустойчивости. Ранее для случая плазмы с неподвижными ионами было показано, что возмущение плотности пучка  $\tilde{n}_b(x)$  при захвате приводит к появлению гармоник поля объемного заряда  $N = 1, 2, 3, \dots$  [6]. Возмущение скорости электронов плазмы этими гармониками может привести к возбуждению ленгмюровских волн, которые послужат затравочными волнами для сателлитной неустойчивости. В работе [6] было показано, что гармоники поля объемного заряда начинают играть заметную роль при  $\frac{n_b}{n_o} \geq (1-2) \cdot 10^{-2}$ , так что этот эффект должен проявляться и в случаях, рассмотренных в настоящей работе.

В случае 1-4 гармоника  $N = 2$  достигает максимальной амплитуды  $E_{max}^{II} \sim 48,5$ ;  $V_{3max}^{II} \sim 6,3V_T$ ; в  $t/T_{oe} \sim 6,4$ ; в случае 1-5 —  $E_{max}^{II} \sim 60,2$ ;

$V_{3\max}^{II} \sim 7,0V_T$ ; в  $t/T_{oe} \sim 6,0$ . По фазовым плоскостям случая 1-4 (рис. 8) видно, что в захвате электронов пучка участвуют обе гармоники —  $N = 1$  и  $N = 2$  — например, в  $t/T_{oe} \sim 12$  верхняя граница скорости  $V(x)$   $b$ -электронов определяется гармоникой  $N = 1$ , нижняя гармоникой  $N = 2$ . Несколько позже сателлитная неустойчивость приводит к возбуждению гармоник  $N = 3$  и  $4$  (рис. 2,3,7).

Так же, как в случаях 1-2, 1-3 [2] в районе областей захвата этих гармоник развивается сильная стохастическая неустойчивость движения  $b$ -электронов (подробнее см. [2]). Из-за больших амплитуд гармоник в случаях 1-4, 1-5 нижняя граница этой области близка к границе плазмы (рис. 8). В результате некоторая часть электронов плазмы ( $p$ -электронов) захватывается гармониками и ускоряется (рис. 8,9) в результате сильной стохастической неустойчивости в случае 1-4 в  $t/T_{oe} \sim 12 - 14$ , в случае 1-5 — уже в  $t/T_{oe} \sim 4 - 6$ . Это приводит к затуханию поля, небольшому в случае 1-4 (рис. 1) и несколько более значительному в случае 1-5 (рис. 6).

Сравнение рис. 1,2 и рис. 6,7 показывает, что в целом развитие неустойчивости в случаях 1-4 и 1-5 различается незначительно, поэтому мы рассмотрим подробнее только один случай 1-4.

Возбуждение гармоник-сателлитов приводит к модуляции поля, что видно по распределению поля  $E(x)$  (рис. 10). Модуляция поля приводит к модуляционной неустойчивости в  $t/T_{oe} > 10 - 15$  — в обоих случаях 1-4 и 1-5 начинают расти впадины плотности, что видно по распределению  $\tilde{n}(x)$  (рис. 10) и по росту амплитуды гармоник  $\tilde{n}^N$  (рис. 4,5). При сильной стохастической неустойчивости  $p$ - и  $b$ -электроны обмениваются энергией с полем — ускоряющиеся частицы отбирают энергию у поля, тормозящиеся — отдают. В результате в случае 1-4 в  $t/T_{oe} \sim 10 - 30$  энергия поля в среднем не меняется (рис. 1), практически не меняется и распределение  $E(x)$  (рис. 10).

Рост возмущения плотности приводит к конверсии гармоник на возмущении [7,8], при которой генерируются более коротковолновые гармоники и обратные волны с номерами гармоник  $N = N_e \pm \alpha N_i$ ,  $\alpha = 1, 2, 3, \dots$ . Модуляционная неустойчивость и конверсия приводят к концентрации поля во впадинах плотности. В случае 1-4 в  $t_{max}/T_{oe} \sim 34$  максимальное значение поля  $E_{max} \sim 95,0$ ,  $E_{max}^2/8\pi n_o T \sim 2,81$ . В  $t/T_{oe} \sim 30 - 40$  начинается интенсивный захват электронов плазмы гармониками конверсии в области  $V < 0$ , возрастает и число  $p$ -электронов в области  $V > 0$ , что видно по фазовым плоскостям (рис. 8) и функциям распределения (рис. 9). В результате в  $t > t_{max}$  поле быстро затухает, а энергия поля поглощается электронами плазмы (рис. 1). Такая же картина, но несколько

раньше — в  $t/T_{oe} \sim 20 - 30$  — наблюдается и в случае 1-5 (рис. 6). Таким образом, в случаях 1-4 и 1-5 развитие модуляционной неустойчивости приводит к коллапсу.

Затухание происходит в результате сильной стохастической неустойчивости движения  $p$ -электронов в области скоростей  $V > 0$  и  $V < 0$ . Можно оценить границы области стохастического движения  $p$ -электронов. Для случая 1-4 в области  $V > 0$  за верхнюю границу можно принять максимальную скорость  $p$ -электронов —  $V_{max}^e/V_T \sim 23,3$  (отметим, что максимальная скорость  $b$ -электронов  $V_{max}^b/V_T \sim 26,4$ ), за нижнюю границу — минимальную скорость  $b$ -электронов —  $V_{min}^b/V_T \sim -0,9$ , так что ширина области стохастического движения  $\delta V/V_T \sim 24,2(27,3)$ . В области  $V < 0$  за нижнюю границу можно принять минимальную скорость  $p$ -электронов  $V_{min}^e/V_T \sim -10,6$ , а верхнюю границу оценить по возмущению граничной скорости  $p$ -электронов на фазовой плоскости —  $V/V_T \sim -1,9$ , так что ширина области стохастического движения —  $\delta V/V_T \sim 8,7$ . Для случая 1-5 аналогичная оценка дает для области  $V > 0$  —  $V_{max}^e/V_T \sim 25,7$  ( $V_{max}^b/V_T \sim 28,0$ );  $V_{min}^b/V_T \sim -0,9$ ;  $\delta V/V_T \sim 26,6(28,9)$ ; для области  $V < 0$  —  $V_{min}^e/V_T \sim -12,0$ ;  $V/V_T \sim -1,6$ ;  $\delta V/V_T \sim 10,4$ . Отметим, что в обоих случаях верхняя граница  $V$  больше фазовой скорости волны  $N = 1$  ( $V_\Phi^I \leq V_0 = 15,9V_T$ ), а нижняя граница  $|V|$  больше фазовой скорости гармоники  $N = -2$  —  $|V| > |V_\Phi^{II}|$ , ( $V_\Phi^{II}/V_T \sim -8,2$ ), но меньше фазовой скорости гармоники  $N = -1$  —  $|V| < |V_\Phi^I|$ , ( $V_\Phi^I/V_T \sim -16,1$ ). Это показывает, что в сильной стохастической неустойчивости в области  $V > 0$  участвуют все гармоники  $N \geq 1$ , а в области  $V < 0$  — гармоники  $N \geq |-2|$ .

После затухания поля впадины плотности продолжают расти (рис. 10). В  $t_{min}/T_{oe} \sim 47$  глубина впадины в случае 1-4 достигает величины  $\tilde{n}_{min}/n_o \sim 0,49$ . В  $t > t_{min}$  впадины схлопываются. Это видно по фазовым плоскостям ионов (рис. 11). Из рис. 11 видно характерное возмущение скорости ионов модуляционной неустойчивостью ( $t/T_{oe} \sim 40$ ) и схлопывание в результате встречи фронтов скорости ( $t/T_{oe} \sim 60$ ), причем некоторое число ионов ускоряется. Дальнейшее развитие приводит к ионно-звуковой турбулентности ( $t/T_{oe} \sim 100, 200$ ).

В  $t/T_{oe} > 50$  затухание поля практически заканчивается. Как видно из рис. 1 и 6, потери энергии электронов пучка и энергия электронов плазмы в  $t/T_{oe} > 40 - 50$  почти одинаковы и постоянны во времени. В случае 1-4 —  $\Delta W_b \sim 2,7W_e^o \sim 0,26W_b^o$ , в случае 1-5 —  $\Delta W_b \sim 4,0W_e^o \sim 0,26W_b^o$ . Практически не меняются и функции распределения электронов пучка и плазмы (рис. 9 и 37).

В работе [2] было показано, что в случае 1-3 ( $n_b/n_o = 1 \cdot 10^{-2}$ ) в результате модуляционной неустойчивости также развивается коллапс, хотя и несколько позже (в  $t/T_{oe} \sim 60 - 70$ ), чем в случаях 1-4, 1-5. Однако, в случае 1-3 коллапс не приводит к полному затуханию поля. После сброса волной  $N = 1$  значительной части энергии сохраняются захваченные частицы и устанавливается волна БГК-типа малой амплитуды. В рассматриваемых случаях волна БГК-типа после коллапса четко не проявляется. Действительно, по распределению плотности электронов пучка  $\tilde{n}_b(x)$  (рис. 10) видно, что в  $t/T_{oe} > 40$  распределение плотности практически однородно. По функциям распределения электронов пучка (рис. 9) видно, что на  $f_b(V)$  в  $t/T_{oe} \geq 40$  нет выделенных пиков — распределение по скорости в широком диапазоне практически однородно.

Анализ восемнадцати траекторий на фазовой плоскости  $b$ -электронов (пробных частиц) в случае 1-4 показывает, что все они, кроме одной (частица 1), имеют характер стохастических. Типичные траектории приведены на рис. 12–15, где показаны траектории в лабораторной системе в  $t/T_{oe} \sim 0 - 200$  (рис. 12a–15a) и в системе той или иной гармоники в выбранных интервалах времени. Траектория частицы 1 (рис. 12) показывает, что эта частица, совершив один оборот в волне  $N = 1$ , становится пролетной, но вскоре снова захватывается (рис. 12б) и остается захваченной даже в  $t/T_{oe} > 40$ , когда поле затухает. В  $t/T_{oe} \sim 100$  она выходит из захвата и становится пролетной (рис. 12 а,в). То, что частица 1 захвачена в  $t/T_{oe} \sim 40 - 100$ , показывает, что волна БГК-типа  $N = 1$ , возможно, все-таки существует после затухания, но имеет малую амплитуду и дает малое возмущение  $\tilde{n}_b(x)$ ,  $f_b(V)$ . Параметры траектории частицы 1 перед выходом из захвата в  $t/T_{oe} \sim 100$  ( $\Delta V_{max}/V_T \sim 2,5$ ,  $\Delta x_{max}/r_d \sim 83$ ) позволяют оценить амплитуду волны: в предположении, что  $\Delta V_{max} \sim 2V_3 \sim 2,5V_T - E^I \sim 1$ .

Траектории частиц 2–4 (рис. 13–15) показывают, что стохастические явления продолжаются и после затухания поля в  $t/T_{oe} > 40$ . Так частица 2 (рис. 13) вначале привязана к гармонике  $N = 1$  — она то захватывается, то выходит из захвата, то захватывается снова (рис. 13б), но в  $t/T_{oe} > 33$  переходит в сферу влияния гармоники  $N = 3$  (рис. 13в), периодически то отражаясь, то становясь пролетной. Частица 3 (рис. 14) вначале тоже привязана к гармонике  $N = 1$  (рис. 14б), но в  $t/T_{oe} \sim 25 - 50$  захватывается гармоникой  $N = 3$  (рис. 14в), а позже переходит в сферу влияния  $N = 4$  (рис. 14г). Частица 4 (рис. 15) вначале привязана к  $N = 1$ , в  $t/T_{oe} \sim 20 - 50$  — к  $N = 2$  (рис. 15б), в  $t/T_{oe} \sim 50 - 100$  — к  $N = 5$  (рис. 15в), в  $t/T_{oe} > 100$  продолжает замедляться и в  $t/T_{oe} \sim 150 - 200$  захватывается гармоникой  $N = 10$  (рис. 15г).

По фазовым плоскостям (рис. 8), функциям распределения (рис. 9), и  $\tilde{n}_b(x)$  (рис. 10) видно, что сильная стохастическая неустойчивость приводит к “размешиванию”  $b$  и  $p$ -электронов на фазовой плоскости и примерно равномерному заполнению ее. Естественно предположить, что подобно случаю 1-3 [2] при затухании поля гармоники не затухают полностью, но уменьшают свою амплитуду и сохраняются как волны БГК-типа малой амплитуды, области захвата которых заполнены электронами. Существование таких волн и позволяет частицам дрейфовать по фазовой плоскости, попадая в сферу влияния (в стохастический слой) то одной, то другой гармоники.

Рассмотрим случай 1-6:  $L/r_d = 100$ ;  $V_o/V_T = 15,9$ ;  $n_b/n_o = 10 \cdot 10^{-2}$ ;  $\frac{W_b^o}{W_e^o} = 25,9$  и случай 1-7:  $L/r_d = 100$ ;  $V_o/V_T = 15,9$ ;  $n_b/n_o = 30 \cdot 10^{-2}$ ;  $\frac{W_b^o}{W_e^o} = 77,8$ .

На рис. 16–18 и 25–27 показана зависимость от времени потерь энергии электронов пучка  $\Delta W_b$ , энергии поля  $W_E$  и энергии электронов плазмы  $\Delta W_e$  (рис. 16,25), амплитуды гармоник поля  $E^N$  (рис. 17,26) и амплитуды гармоник возмущения плотности  $\tilde{n}^N$  (рис. 18,27), распределение поля  $E(x)$  и возмущения плотности плазмы (рис. 19,28), фазовые плоскости электронов (рис. 20,30) и ионов (рис. 22,29), функции распределения по скорости электронов плазмы и пучка ( $b$ -электронов) (рис. 21,31), траектории электронов (пробных частиц) на фазовой плоскости (рис. 23,24,32,33) для случаев 1-6 (рис. 16–24) и 1-7 (рис. 25–33). На рис. 34–37 показаны сравнительные рисунки для случаев 1-3–1-7: фазовые плоскости ионов (рис. 34) и  $E(x)$ ,  $\tilde{n}(x)$  (рис. 35) в моменты времени, когда  $E_m$  (максимальное значение  $E(x)$ ) достигает первого максимума, и функции распределения в  $t/T_{oe} = 200$  (рис. 36,37).

По кривым  $W(t)$ ,  $E^I(t)$  (рис. 16,17,25,26) видно, что в случаях 1-6, 1-7 амплитуда волны  $N = 1$  быстро нарастает, с небольшим отставанием растут амплитуды гармоник  $N = 2, 3, \dots$ . По фазовым плоскостям электронов (рис. 20,30) видно, что почти одновременно с захватом электронов пучка начинают захватываться электроны плазмы — в случае 1-6 — в  $t/T_{oe} \sim 4 - 5$ , в случае 1-7 — в  $t/T_{oe} \sim 2 - 3$ . С увеличением  $n_b/n_o$  число захватываемых  $p$ -электронов возрастает, что видно по функциям распределения в  $t/T_{oe} \sim 6$  (рис. 21,31). Захват и ускорение  $p$ -электронов приводят к быстрому — за несколько периодов  $T_{oe}$  — затуханию поля (рис. 16,25). При этом заметная часть  $b$ -электронов остается в области малых скоростей (рис. 21,31). Первый максимум кривой  $E^I(t)$  в случае 1-6 достигается в  $t/T_{oe} \sim 4,8$ , при этом  $E_{max}^I \sim 105,5$ ;  $V_{3max} \sim 13,0V_T$ ;  $W_{Emax} \sim 5,84W_e^o \sim 0,23W_b^o$ ;  $\Delta W_{bmax} \sim 14,71W_e^o \sim 0,57W_b^o$ ; в случае

1-7 —  $t/T_{oe} \sim 2,8$ ;  $E_{max}^I \sim 120,6$ ;  $V_{z max} \sim 13,9V_T$ ;  $W_{E max} \sim 14,94W_e^o \sim 0,19W_b^o$ ;  $\Delta W_{b max} \sim 54,22W_e^o \sim 0,70W_b^o$ .

Практически одновременно с ростом гармоники  $N = 1$  развивается сателлитная неустойчивость — растут гармоники  $N = 2,3\dots$  (рис. 17,26). В случае 1-6 гармоника  $N = 2$  достигает максимальной амплитуды  $E_{max}^{II} \sim 90,3$ ;  $V_{z max}^{II} \sim 8,5V_T$ ; в  $t/T_{oe} \sim 4,0$ ; в случае 1-7 —  $E_{max}^{II} \sim 160$ ;  $V_{z max}^{II} \sim 11,4V_T$ ; в  $t/T_{oe} \sim 3,2$ .

В районе областей захвата волны  $N = 1$  и гармоник-сателлитов развивается сильная стохастическая неустойчивость движения электронов, в которой участвуют и  $b$ -, и  $p$ -электроны это приводит к быстрому “размешиванию” электронов — фазовая плоскость уже к  $t/T_{oe} \sim 20$  почти равномерно заполняется электронами (рис. 20,30). Оценка границ области стохастического движения, подобная случаям 1-4, 1-5, дает для случая 1-6  $V_{max}^e/V_T \sim 29,3$  ( $V_{max}^b/V_T \sim 29,7$ );  $V_{min}^b/V_T \sim -2,3$ ;  $\delta V/V_T \sim 31,6(32,0)$ ; для случая 1-7 —  $V_{max}^e/V_T \sim 35,1$  ( $V_{max}^b/V_T \sim 38,2$ );  $V_{min}^b/V_T \sim -10,2$ ;  $\delta V/V_T \sim 45,3(48,4)$ .

Быстрый рост амплитуды волны  $N = 1$  и гармоник-сателлитов уже на начальной стадии приводит к модуляции поля. Максимальное значение  $E(x) — E_m$  достигает максимума в  $t$ , близкое к  $t$  максимума энергии поля — в случае 1-6 —  $t/T_{oe} \sim 4,2$ ;  $E_{max} \sim 212,1$ ;  $E_{max}^2/8\pi n_o T \sim 14,3$ ; в случае 1-7 —  $t/T_{oe} \sim 3,3$ ;  $E_{max} \sim 390,9$ ;  $E_{max}^2/8\pi n_o T \sim 48,8$ . Нарастающее поле приводит к возмущению скорости ионов и возмущению плотности плазмы. Это видно по фазовым плоскостям ионов (рис. 34) и распределению  $E(x), \tilde{n}(x)$  (рис. 35) при сравнении случаев 1-4-1-7. Действительно, из рис. 34,35 видно, что  $E_{max}$ , возмущение скорости и плотности возрастают с ростом  $n_b/n_o$ , достигая в случаях 1-6, 1-7 значительной величины.

Захват электронов плазмы, как уже говорилось, приводит к затуханию поля (рис. 16,25). Поле, однако, не затухает до конца. На остаточном поле развивается модуляционная неустойчивость, что видно по росту впадин плотности (рис. 19,28) и росту амплитуды гармоник  $\tilde{n}^N$  (рис. 18,27).

Рост возмущения плотности приводит к конверсии и возбуждению коротковолновых гармоник и обратных волн. В результате в случае 1-6 в  $t/T_{oe} \geq 20$ , в случае 1-7 уже в  $t/T_{oe} \geq 6-10$  начинается интенсивный захват электронов плазмы в области  $V < 0$ . Это видно по фазовым плоскостям электронов (рис. 20,30) и функциям распределения (рис. 21,31).

В районе областей захвата гармоник конверсии — обратных волн развивается сильная стохастическая неустойчивость движения  $p$ -электронов. Границы области стохастического движения в области  $V < 0$  можно

оценить по минимальной скорости  $p$ -электронов  $V_{min}^e$  и по возмущению граничной скорости  $p$ -электронов на фазовой плоскости. Для случая 1-6 это дает  $V_{min}^e/V_T \sim -11,8$ ;  $V/V_T \sim -1,2$ , так что ширина области  $\delta V/V_T \sim 10,6$ . Для случая 1-7 —  $V_{min}^e/V_T \sim -15,4$ ;  $V/V_T \sim -0,4$ , так что ширина области  $\delta V/V_T \sim 15$ . Отметим, что в обоих случаях  $|V_{min}^e|$  больше фазовой скорости гармоники  $N = -2$  — ( $V_{\phi}^{II}/V_T \sim -8,2$ ), но меньше фазовой скорости гармоники  $N = -1$  — ( $V_{\phi}^I/V_T \sim -16,1$ ). Это показывает, что в стохастической неустойчивости участвуют гармоники  $N \geq |-2|$ , но не участвует  $N = -1$ .

Ускорение  $p$ -электронов при стохастической неустойчивости приводит к затуханию поля (рис. 16,19,25,28). К  $t/T_{oe} \sim 30$  в случае 1-6 и  $t/T_{oe} \sim 20$  в случае 1-7 поле затухает, а энергия поля поглощается электронами плазмы. В дальнейшем  $\Delta W_b$  и  $\Delta W_e$  не меняются и остаются практически одинаковыми (рис. 16,25). Это показывает, что почти вся энергия, потерянная пучком поглощается электронами плазмы. В случае 1-6 —  $\Delta W_b \sim 10,3W_e^o \sim 0,40W_b^o$ , в случае 1-7 —  $\Delta W_b \sim 41,6W_e^o \sim 0,53W_b^o$ . Практически не меняются и функции распределения электронов пучка и плазмы (рис. 21,31,36,37).

Впадины плотности в случае 1-6 достигают максимальной величины  $\tilde{n}_{min}/n_o \sim 0,31$  после затухания поля в  $t_{min}/T_{oe} \sim 34$  (рис. 19), а в случае 1-7 — еще на стадии затухания —  $t_{min}/T_{oe} \sim 9,5$ ;  $\tilde{n}_{min}/n_o \sim 0,51$  (рис. 28). После этого впадины склоняются, что видно по фазовым плоскостям ионов (рис. 22,29). В случае 1-6, так же как в случаях 1-4, 1-5 развивается мелкомасштабная ионно-звуковая турбулентность (рис. 19,22).

Анализ фазовых плоскостей ионов (рис. 29) и распределения плотности (рис. 28) в случае 1-7 показывает, что в этом случае образуется долгоживущий ионно-звуковой солитон [9]. Действительно, уже в самом начале в  $t/T_{oe} \sim 3,3$  возникает возмущение скорости и скоррелированное с ним возмущение плотности ионов (рис. 34,35). В дальнейшем оба эти возмущения сохраняются, медленно затухая (рис. 28,29). Анализ более мелкомасштабных возмущений скорости и плотности ионов показывает, что они возникают после склонения впадин плотности. Эти возмущения скорости и плотности также скоррелированы и сохраняются в течение длительного времени (рис. 28,29). Это показывает, что они также являются ионно-звуковыми солитонами. Анализ фазовых плоскостей ионов и распределения плотности  $\tilde{n}(x)$  в случаях 1-2 [2], 1-3-1-5 показывает, что такие же структуры возникают после склонения впадин плотности на стадии ионно-звуковой турбулентности и в этих случаях.

Отметим, что на стадии развития ионно-звуковой турбулентности некоторое число ионов захватывается и ускоряется ионно-звуковыми волнами до скоростей  $V/V_T \sim \pm(10-15)$ . Однако, энергия, поглощенная ионами, невелика, что видно из таблицы для случаев 1-3÷1-7 в  $t/T_{oe} = 200$ .

Случай	1-3	1-4	1-5	1-6	1-7
$n_e/n_o$	$2 \cdot 10^{-2}$	$4 \cdot 10^{-2}$	$6 \cdot 10^{-2}$	$10 \cdot 10^{-2}$	$30 \cdot 10^{-2}$
$\Delta W_i/W_e^o$	$3,2 \cdot 10^{-2}$	$5,2 \cdot 10^{-2}$	$4,5 \cdot 10^{-2}$	$7,1 \cdot 10^{-2}$	$28,4 \cdot 10^{-2}$
$\Delta W_i/W_b^o$	$6,2 \cdot 10^{-3}$	$5,0 \cdot 10^{-3}$	$2,9 \cdot 10^{-3}$	$2,7 \cdot 10^{-3}$	$3,6 \cdot 10^{-3}$
$\Delta W_b/W_e^o$	1,6	2,7	4,0	10,3	41,6
$\Delta W_b/W_b^o$	0,31	0,26	0,26	0,40	0,53
$\Delta W_i/\Delta W_b$	$2,0 \cdot 10^{-2}$	$1,9 \cdot 10^{-2}$	$1,1 \cdot 10^{-2}$	$6,9 \cdot 10^{-3}$	$6,8 \cdot 10^{-3}$

Анализ траекторий  $b$ -электронов (пробных частиц) на фазовой плоскости в случаях 1-6 и 1-7 показывает, что все рассмотренные траектории являются стохастическими, причем стохастические явления продолжаются и после затухания поля. Типичные траектории показаны на рис. 23,24,32,33, где приведены траектории в лабораторной системе в  $t/T_{oe} \sim 0 - 200$  и в системе той или иной гармоники в выбранном интервале времени. Траектории частиц 1 и 2 в случае 1-6 (рис. 23,24) показывают, что эти частицы привязаны к гармонике  $N = 1$  — они то захватываются, то выходят из захвата, причем эти явления продолжаются и в  $t/T_{oe} > 30$  после затухания поля. Особенно показательна частица 2, которая захватывается в  $t/T_{oe} \sim 100, \sim 150$  и даже  $\sim 200$  (рис. 24в). Частица 3 в случае 1-7 (рис. 32) вначале привязана к  $N = 1$ , но вскоре переходит в сферу влияния гармоники  $N = 2$ , где и остается, захватываясь и выходя из захвата даже незадолго до  $t/T_{oe} \sim 200$  (рис. 32г). Частица 4 (рис. 33), начинает с волны  $N = 1$ , в  $t/T_{oe} > 100$  переходит в сферу влияния гармоники  $N = 3$ , а в  $t/T_{oe} > 140$  — гармоники  $N = 4$  (рис. 33в,г).

Таким образом, траектории  $b$ -электронов в случаях 1-6, 1-7 подтверждают предположение, сделанное при анализе траекторий в случае 1-4, о том, что после затухания поля сохраняются гармоники малой амплитуды, имеющие характер волн БГК-типа. Отметим, что возможность существования незатухающих волн БГК-типа малой амплитуды в одномерной максвелловской плазме показана в численном эксперименте [10].

## Литература

- [1] Г.А. Артин, Н.С. Бучельникова. — Волны БГК и модуляционная неустойчивость при взаимодействии холодного электронного пучка с плазмой. I. Препринт ИЯФ N 98-36, Новосибирск, 1998.
- [2] Г.А. Артин, Н.С. Бучельникова. — Волны БГК и модуляционная неустойчивость при взаимодействии холодного электронного пучка с плазмой. II. Препринт ИЯФ N 98-37, Новосибирск, 1998.
- [3] Н.Г. Мациборко, И.Н. Онищенко, Я.Б. Файнберг, В.Д. Шапиро, В.И. Шевченко. — ЖЭТФ 63, 874, 1972.
- [4] Г.А. Артин, Н.С. Бучельникова, Б.Н. Лазеев. — Волна Бернштейна-Грина-Крускала в длинной системе. Неустойчивость спутников. I, II. Препринты ИЯФ N 95-23, N 95-24, Новосибирск, 1995.
- [5] N.S.Buchelnikova, E.P.Matochkin. — Phys. Lett. 112A, 330, 1985.
- [6] B.T.Astrelin, N.S.Buchelnikova. — ЖТФ 46, N 8, 1644, 1976.
- [7] P.K.Kaw, A.T.Lin, J.M.Dawson. — Phys. Fluids 16, 1967, 1973.
- [8] N.S.Buchelnikova, E.P.Matochkin. — Physica Scripta 24, 566, 1981.
- [9] Ф. Чен. — Введение в физику плазмы, стр. 317-321, Москва, Мир, 1987.
- [10] J.Demeio, J.P.Holloway. — J.Pl.Phys. 46, Pt1, 63, 1991.

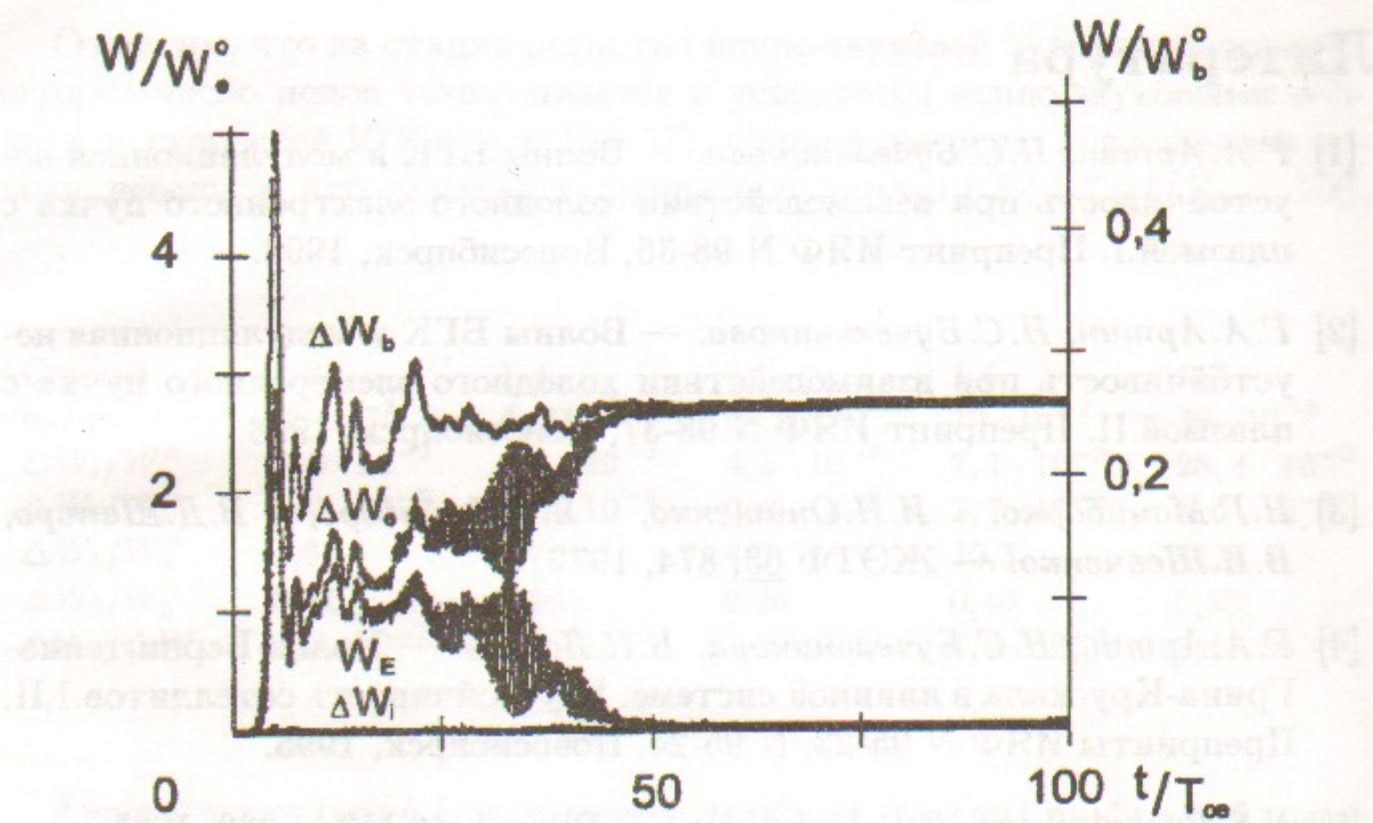


Рис. 1: Зависимость от времени энергии поля  $W_E$ , энергии электронов плазмы  $\Delta W_e = W_e - W_e^o$ , и потерь энергии электронов пучка  $\Delta W_b = -(W_b - W_b^o)$ . Случай 1-4.

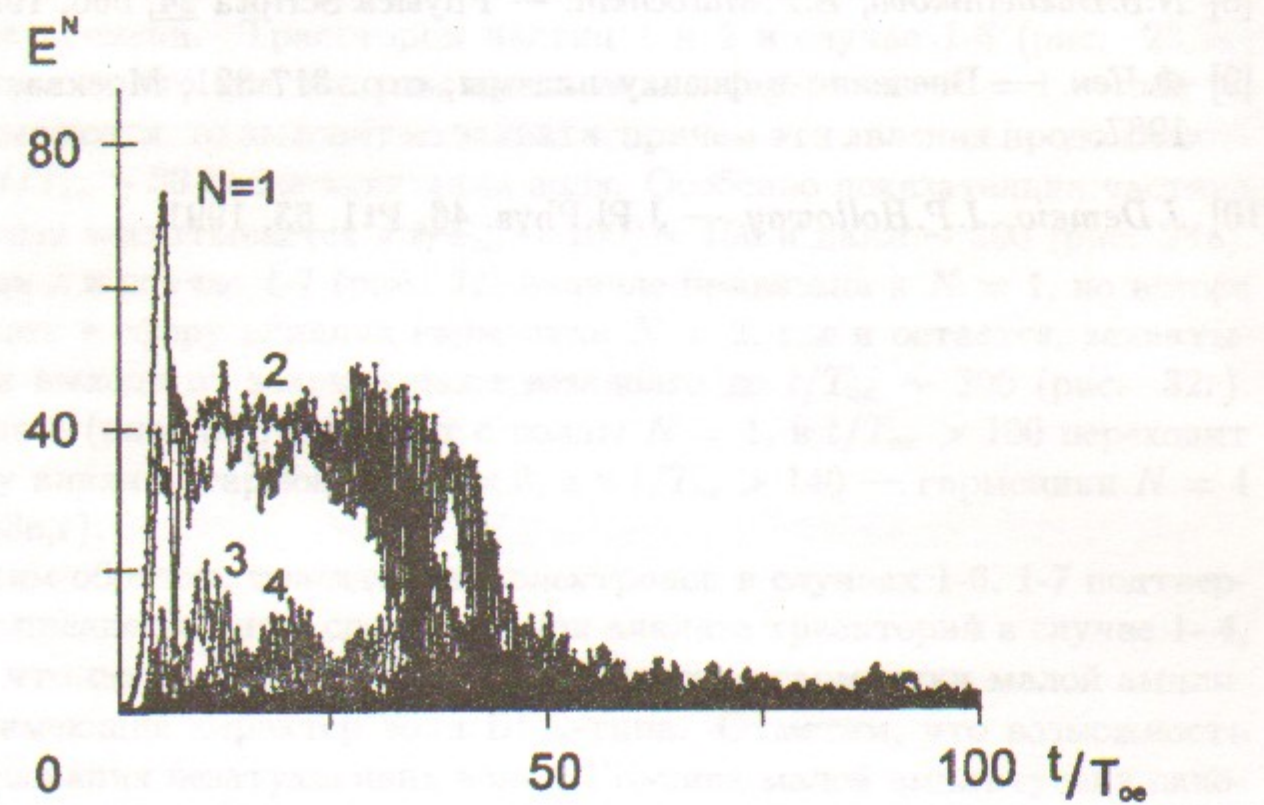


Рис. 2: Зависимость от времени амплитуды волны  $N = 1$  и гармоник  $N = 2 \div 10$ . Случай 1-4.

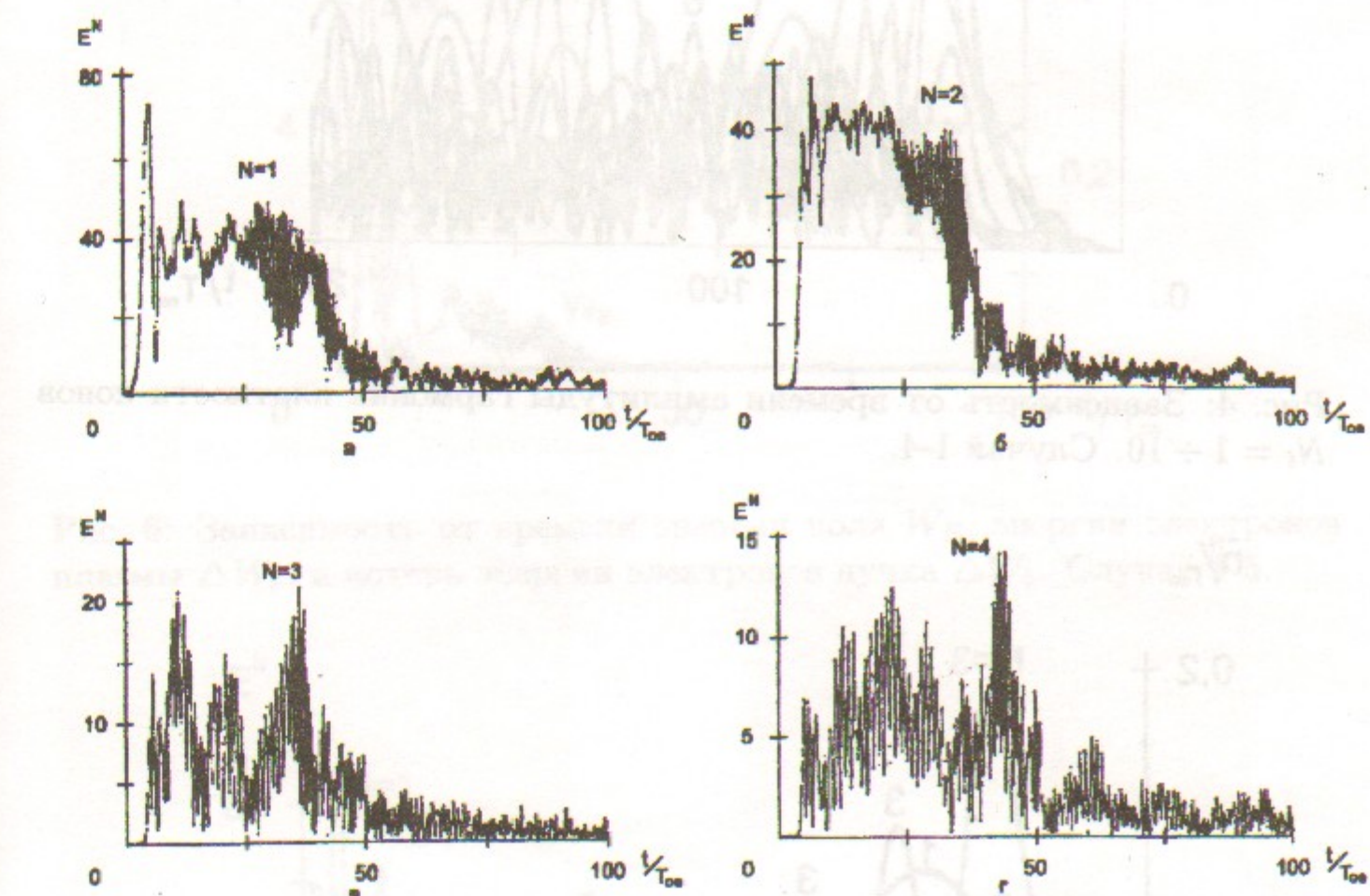


Рис. 3: Зависимость от времени амплитуды волны  $N = 1$  и гармоник  $N = 2 \div 4$ . Случай 1-4. а.  $N = 1$ , б.  $N = 2$ , в.  $N = 3$ , г.  $N = 4$ .

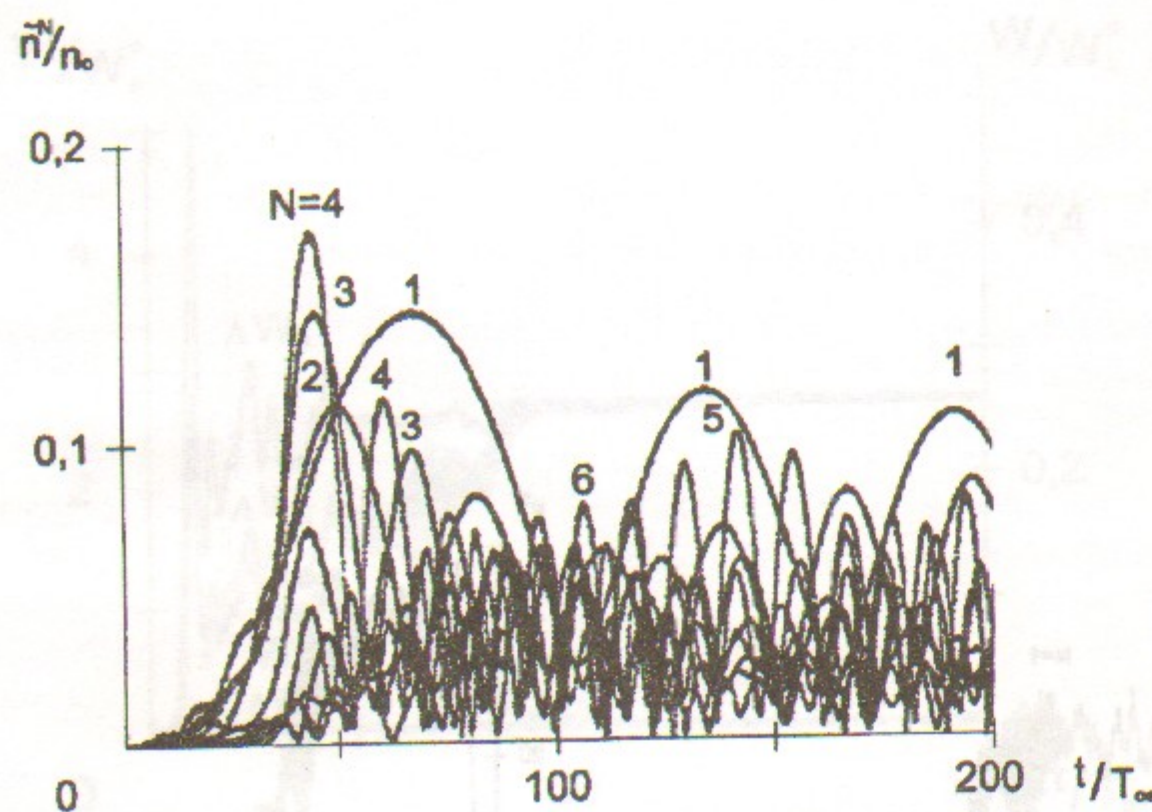


Рис. 4: Зависимость от времени амплитуды гармоник плотности ионов  $N_i = 1 \div 10$ . Случай 1-4.

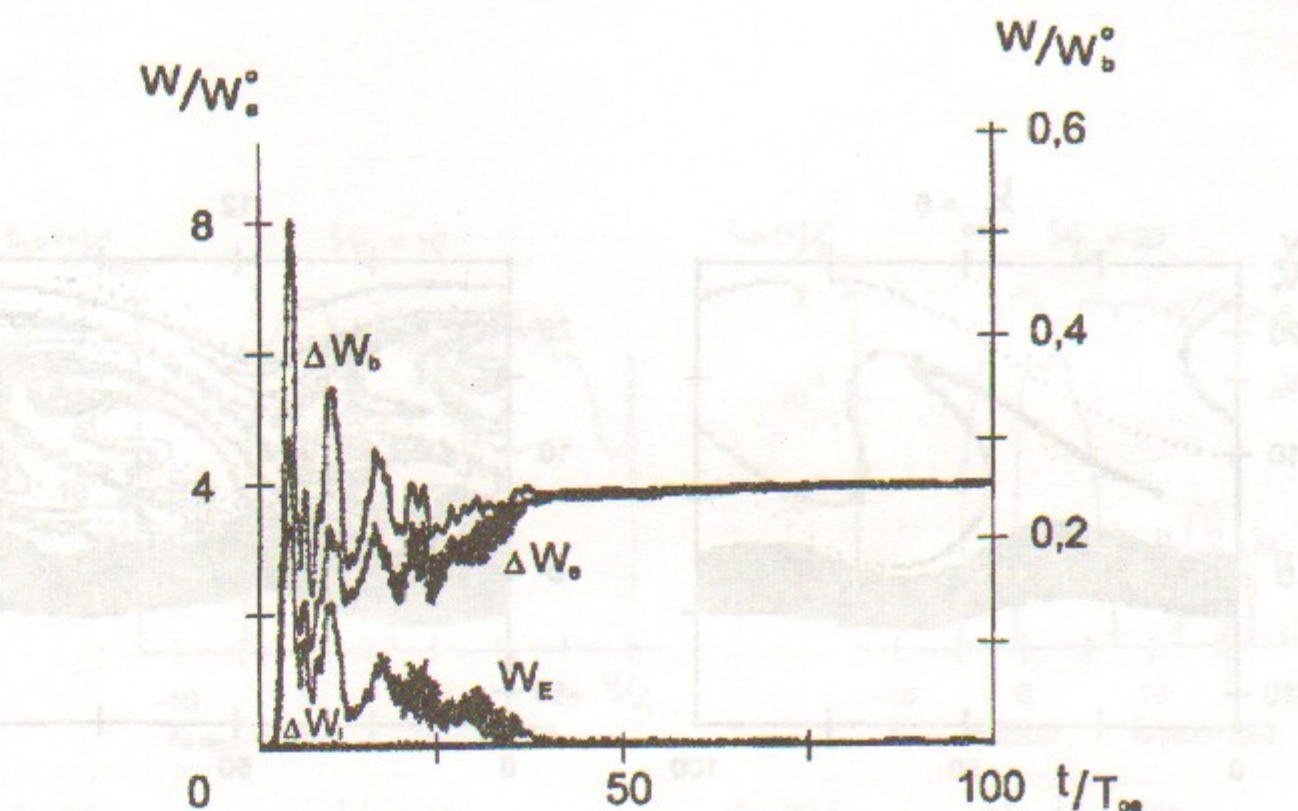


Рис. 6: Зависимость от времени энергии поля  $W_E$ , энергии электронов плазмы  $\Delta W_e$ , и потерь энергии электронов пучка  $\Delta W_b$ . Случай 1-5.

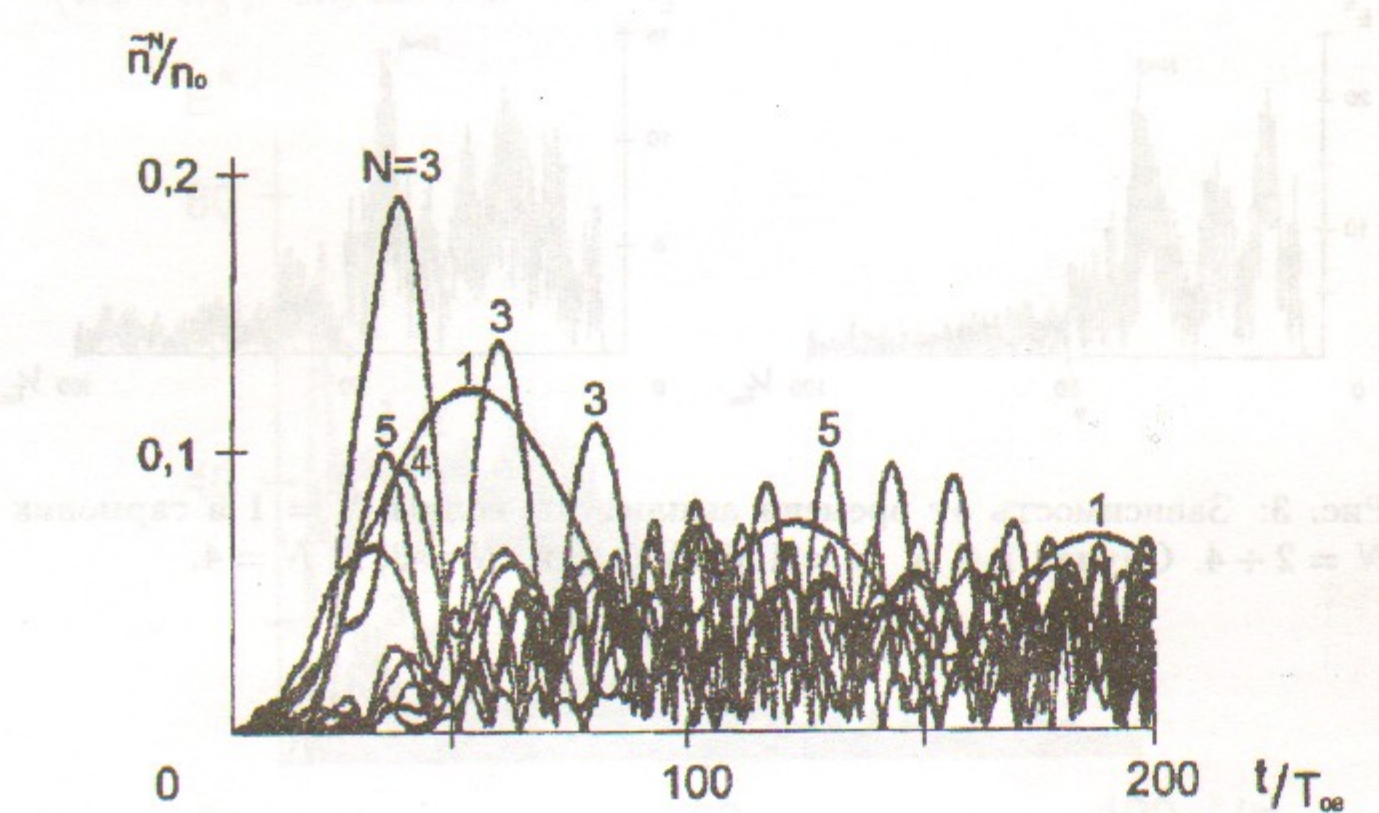


Рис. 5: Зависимость от времени амплитуды гармоник плотности ионов  $N_i = 1 \div 10$ . Случай 1-5.

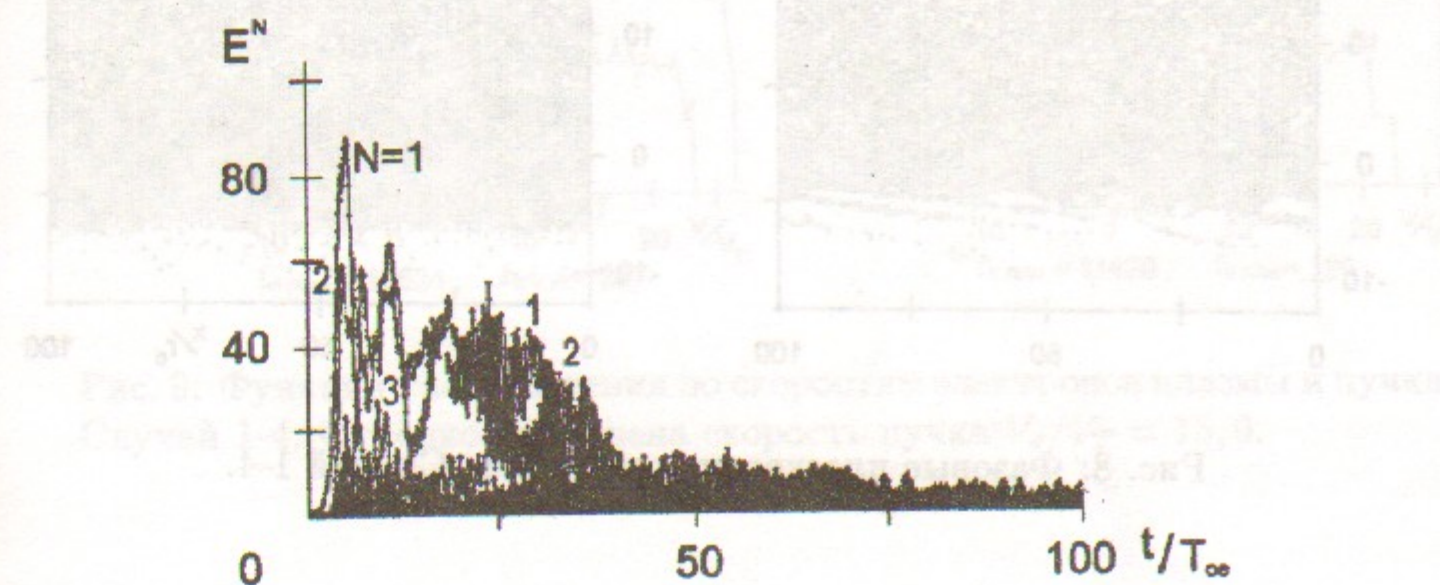


Рис. 7: Зависимость от времени амплитуды волны  $N = 1$  и гармоник  $N = 2 \div 10$ . Случай 1-5.

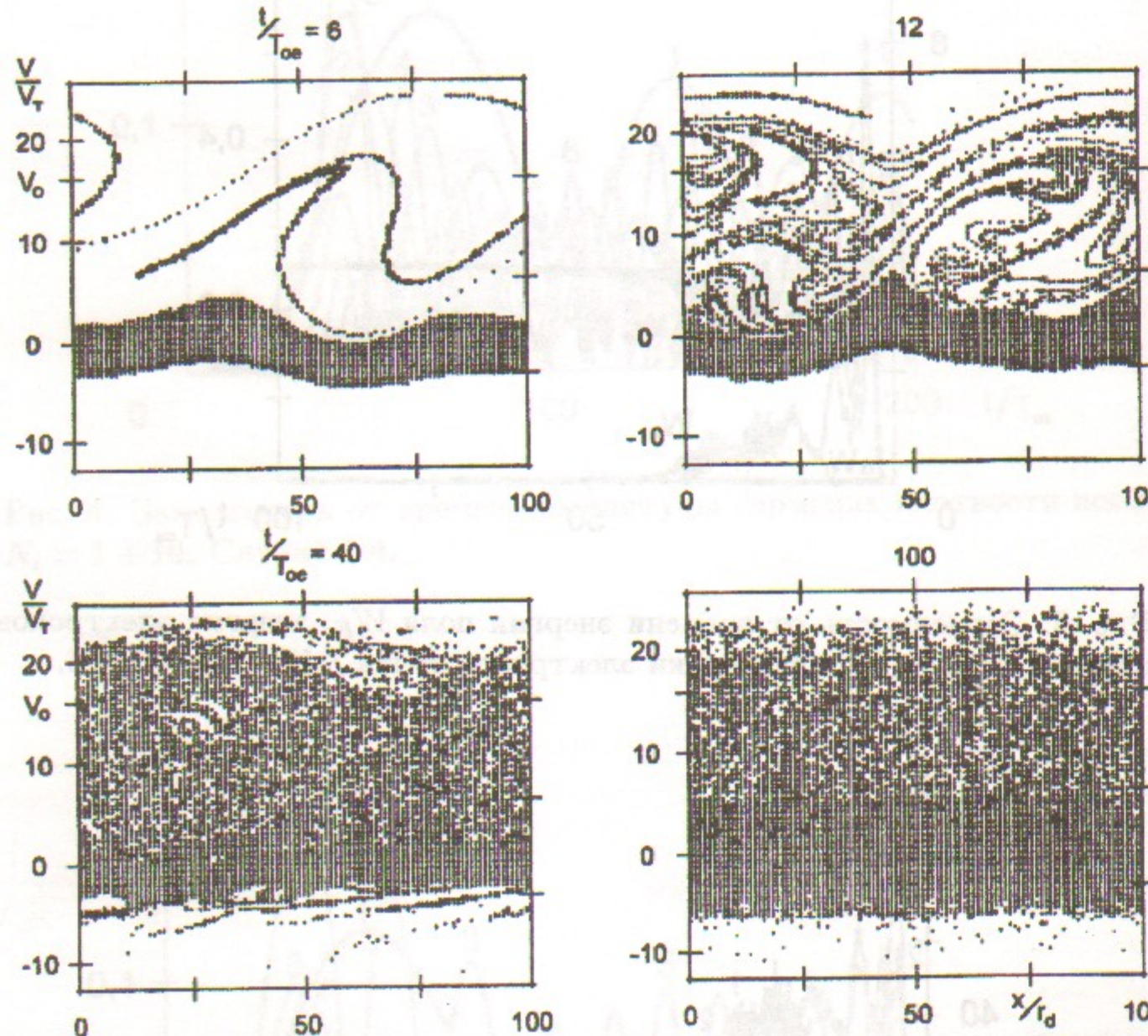


Рис. 8: Фазовые плоскости электронов. Случай 1-4.

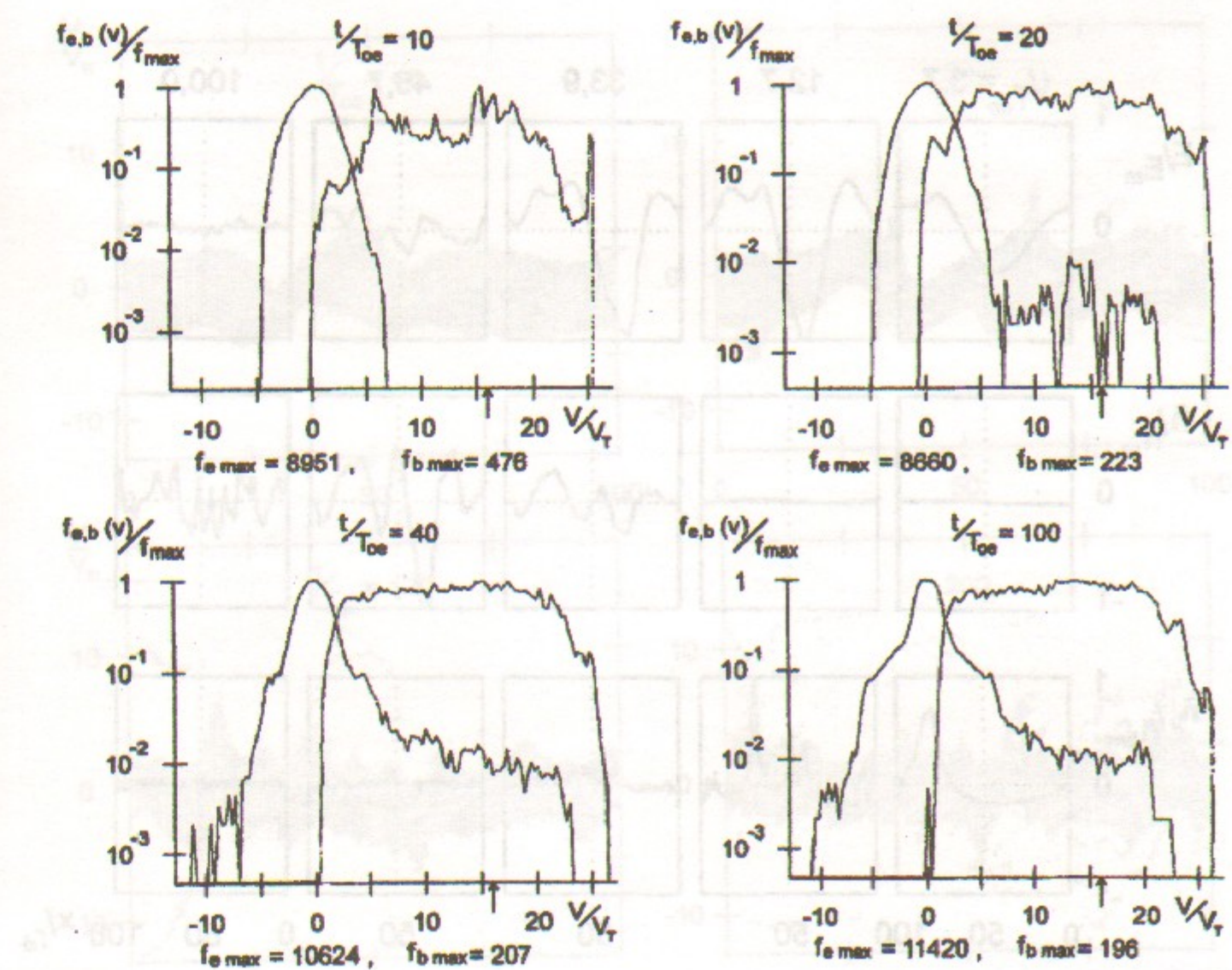


Рис. 9: Функции распределения по скоростям электронов плазмы и пучка. Случай 1-4. Стрелкой отмечена скорость пучка  $V_o/V_T = 15$ .

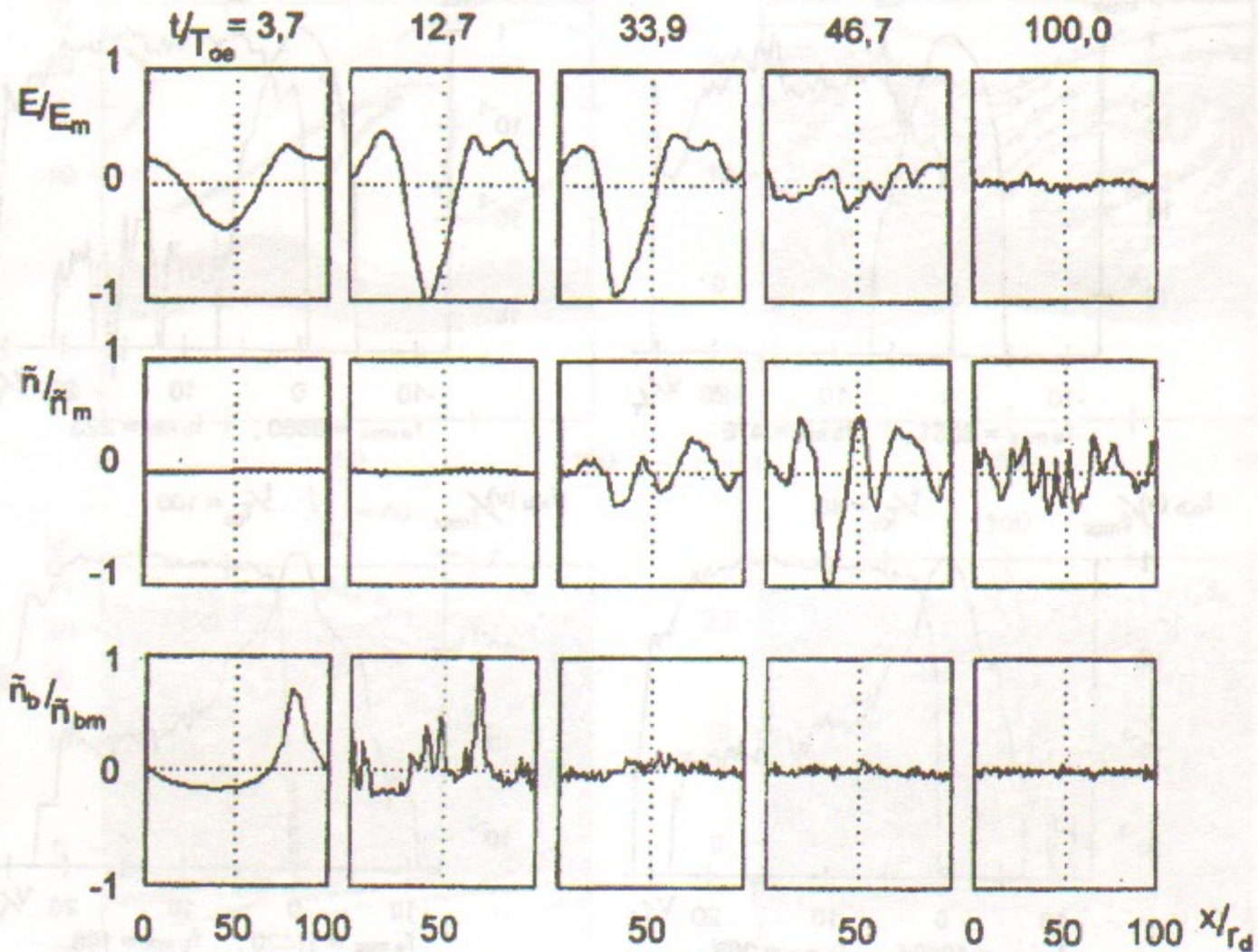


Рис. 10: Распределение поля  $E(x)$ , возмущения плотности плазмы  $\tilde{n}(x)$  и возмущения плотности электронов пучка  $\tilde{n}_b(x)$ . Случай 1-4.  $E_m = 99, 43$ ,  $\tilde{n}_m/n_o = 0,49$ ,  $\tilde{n}_{bm}/n_b^o = 2,98$ .

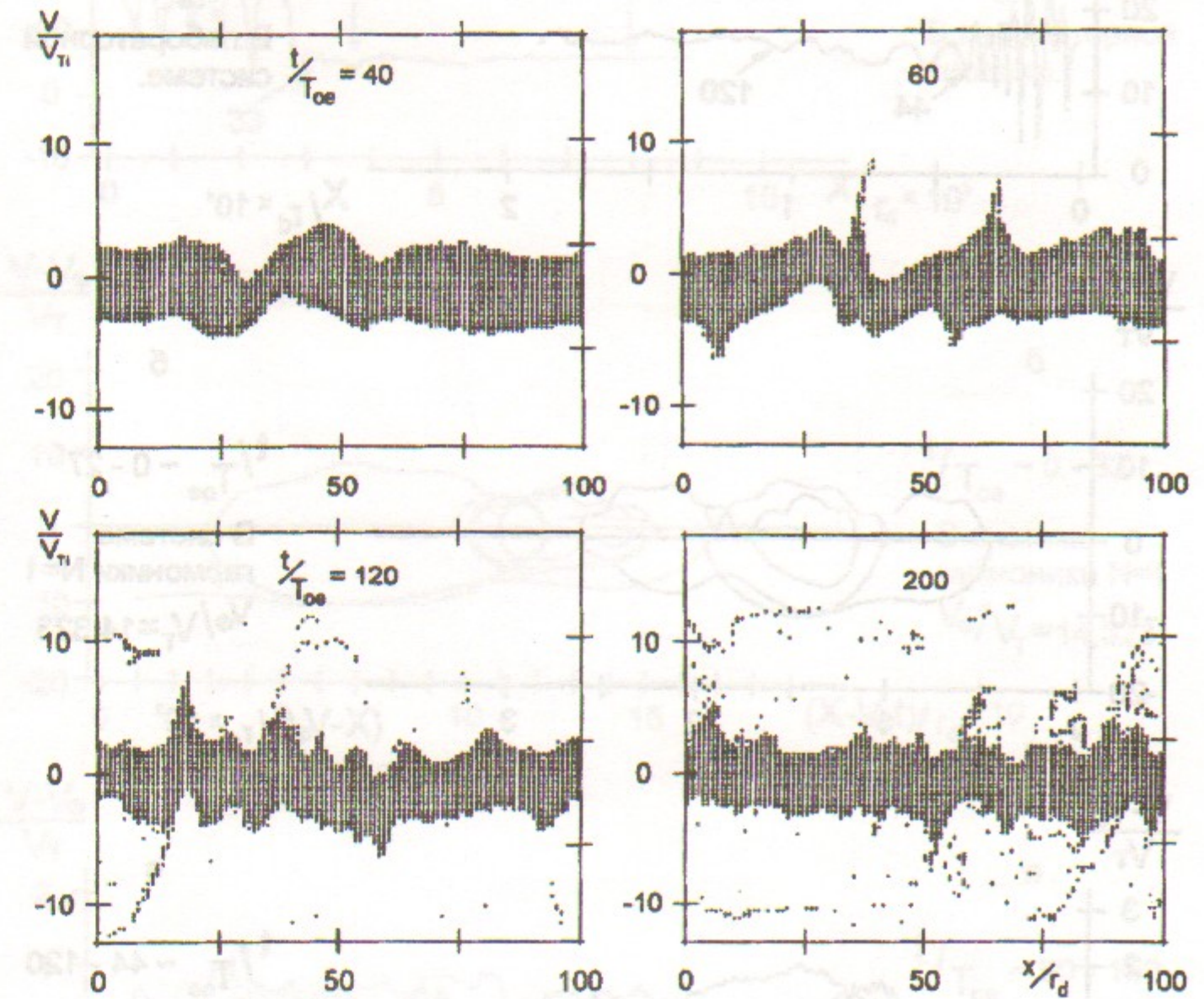


Рис. 11: Фазовые плоскости ионов. Случай 1-4.

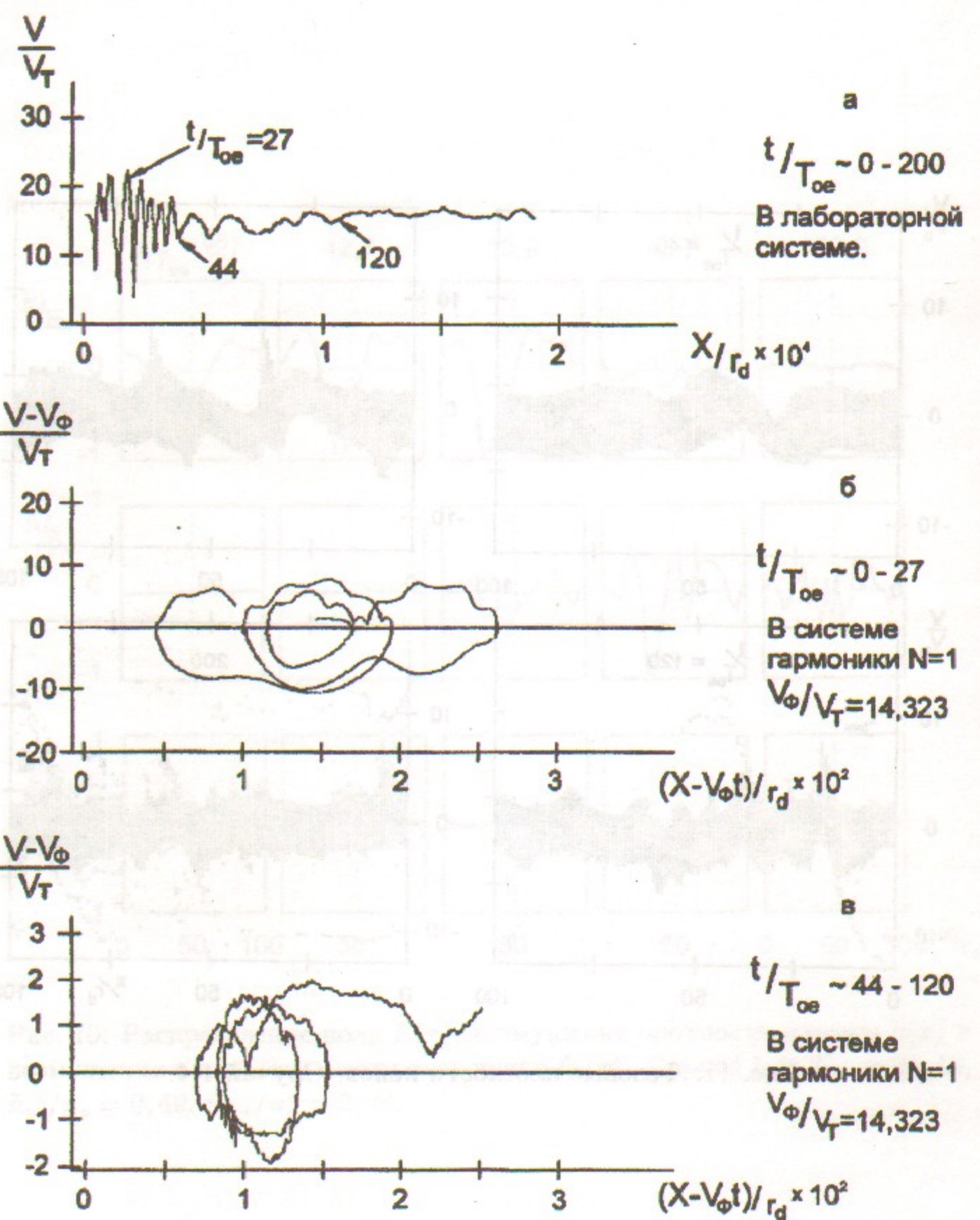


Рис. 12: Траектории частицы 1 на фазовой плоскости. Случай 1-4.  
 $x_o/r_d = 44, V_o/V_T = 15, 9$ .

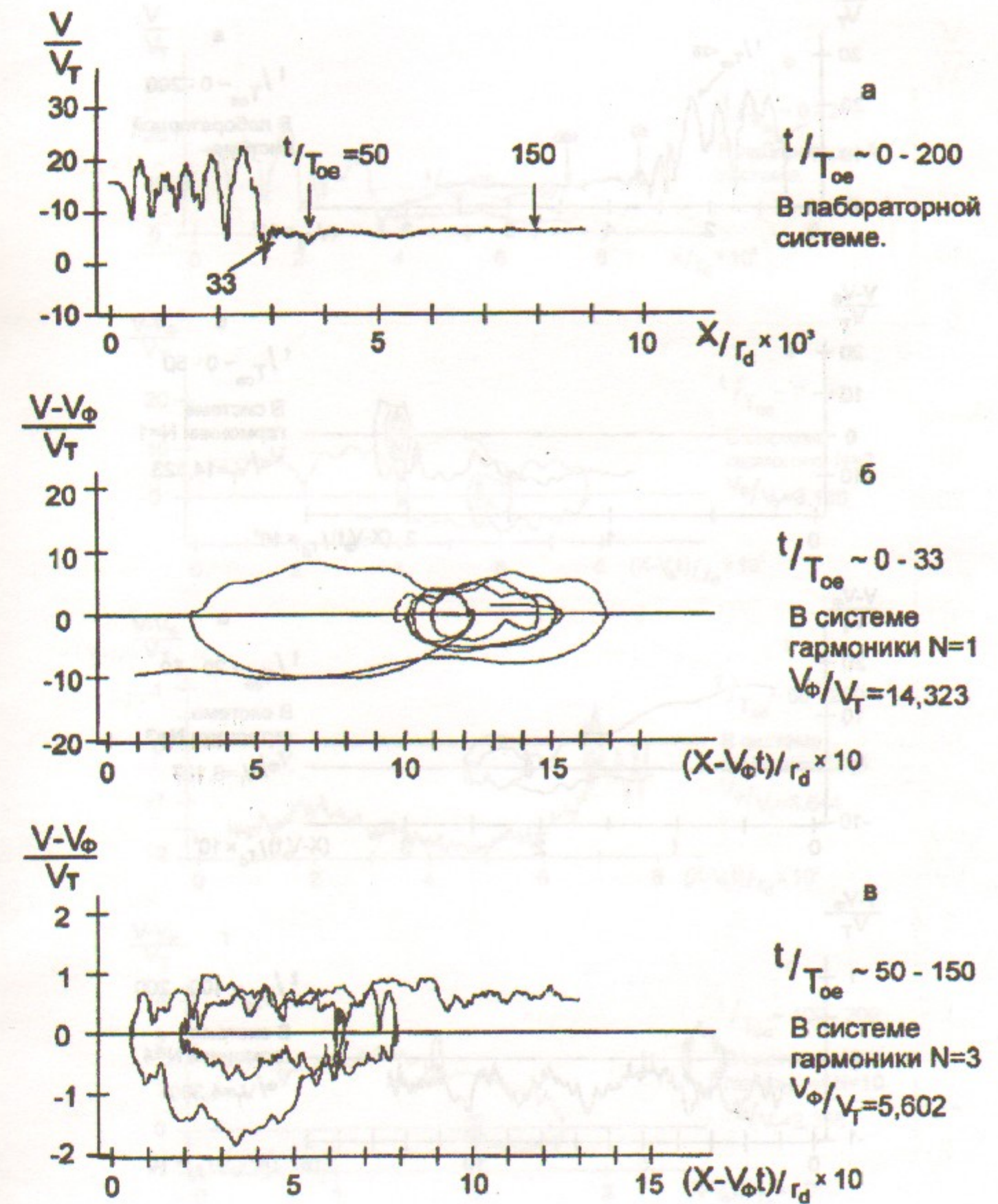


Рис. 13: Траектории частицы 2 на фазовой плоскости. Случай 1-4.  
 $x_o/r_d = 38, V_o/V_T = 15, 9$ .

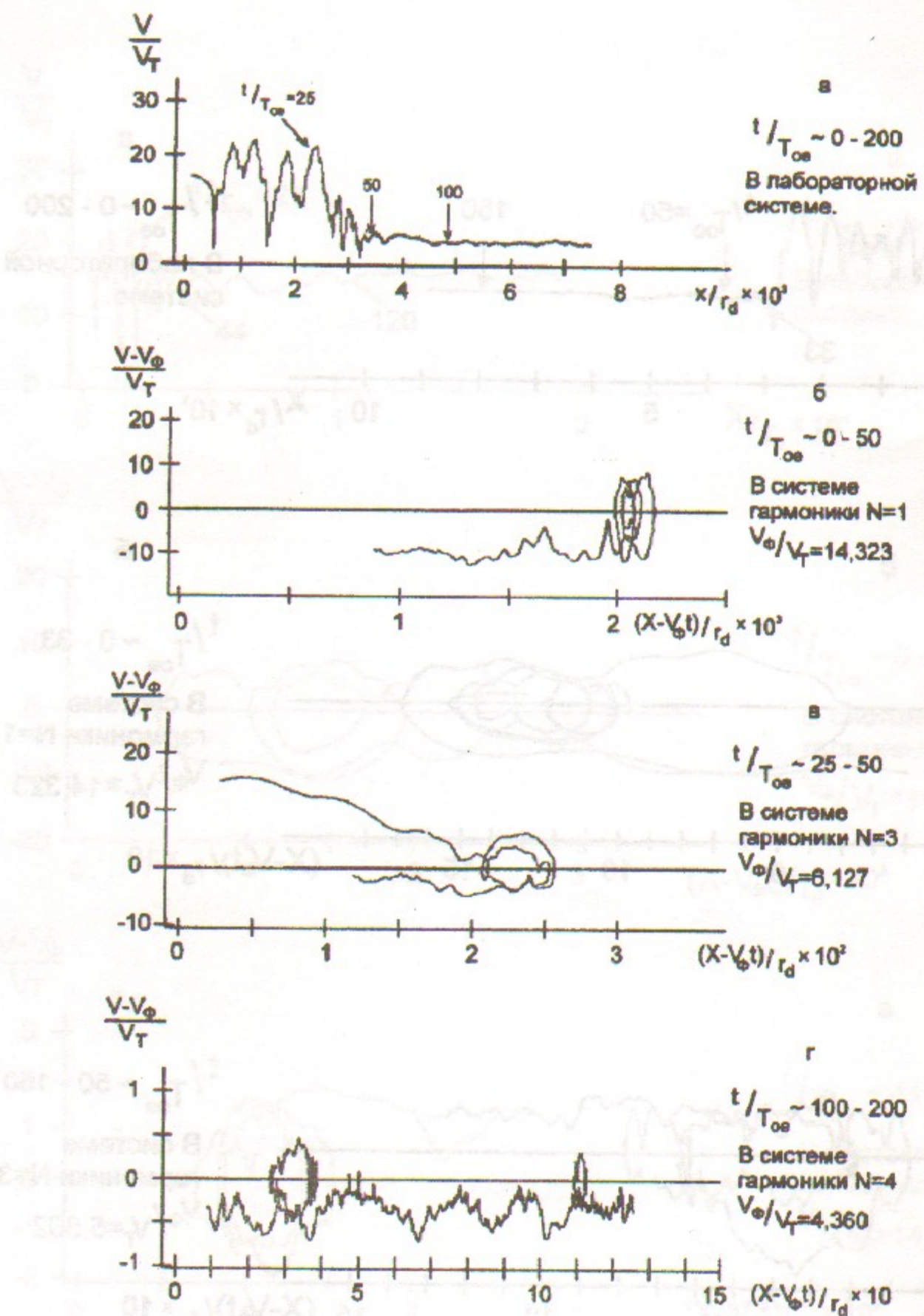


Рис. 14: Траектории частицы 3 на фазовой плоскости. Случай 1-4.  
 $x_0 / r_d = 55, V_\phi / V_T = 15,9.$

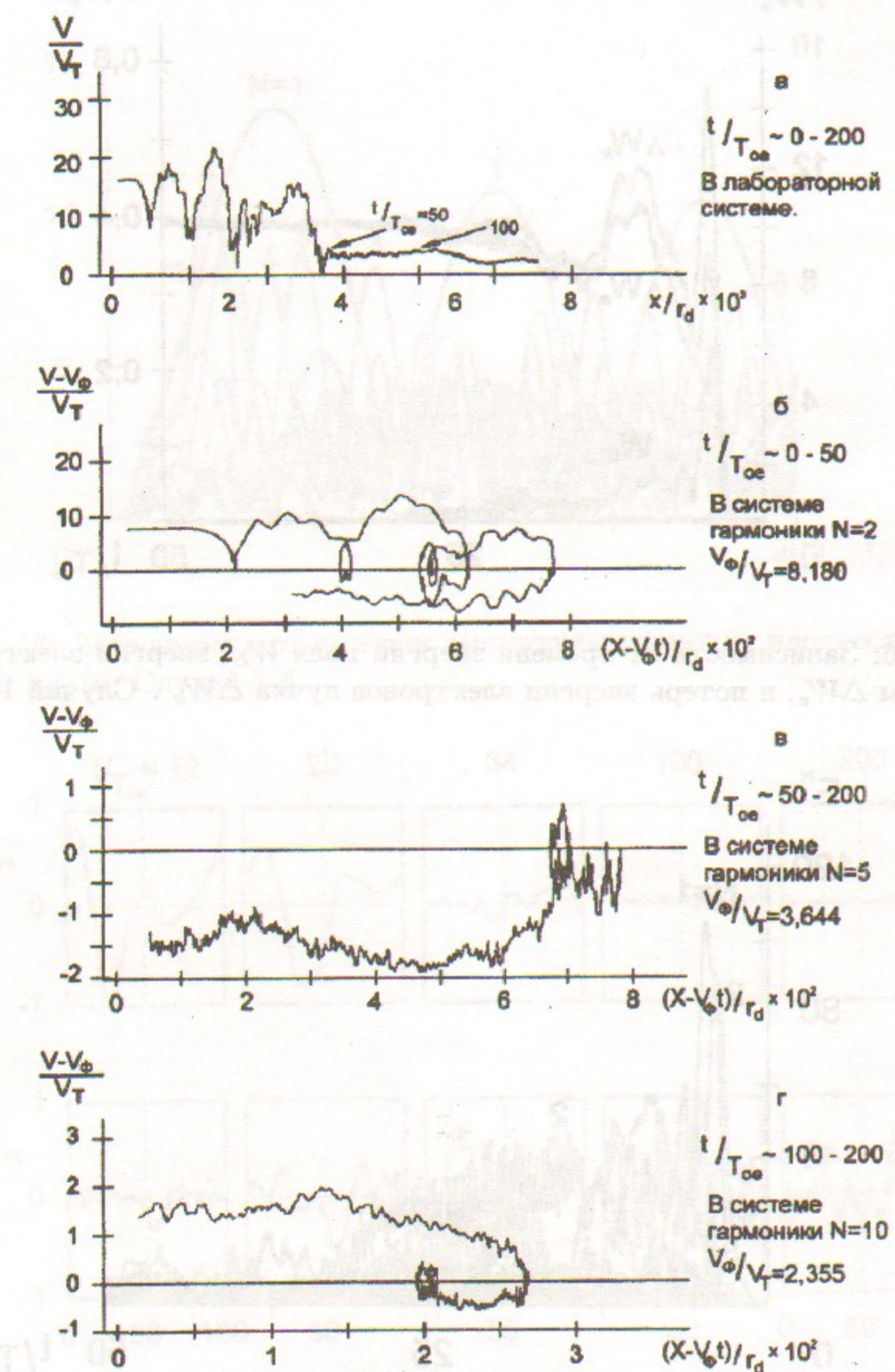


Рис. 15: Траектории частицы 4 на фазовой плоскости. Случай 1-4.  
 $x_0 / r_d = 20, V_\phi / V_T = 15,9.$

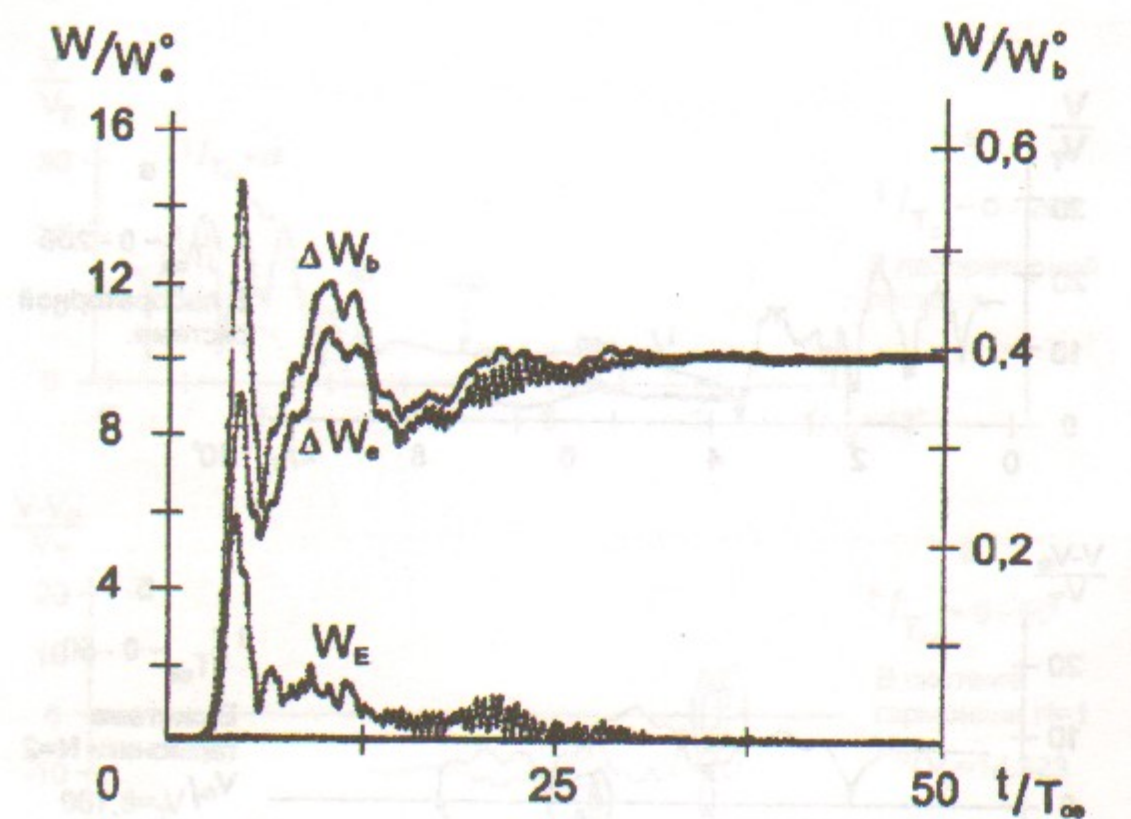


Рис. 16: Зависимость от времени энергии поля  $W_E$ , энергии электронов плазмы  $\Delta W_e$ , и потерь энергии пучка  $\Delta W_b$ . Случай 1-6.

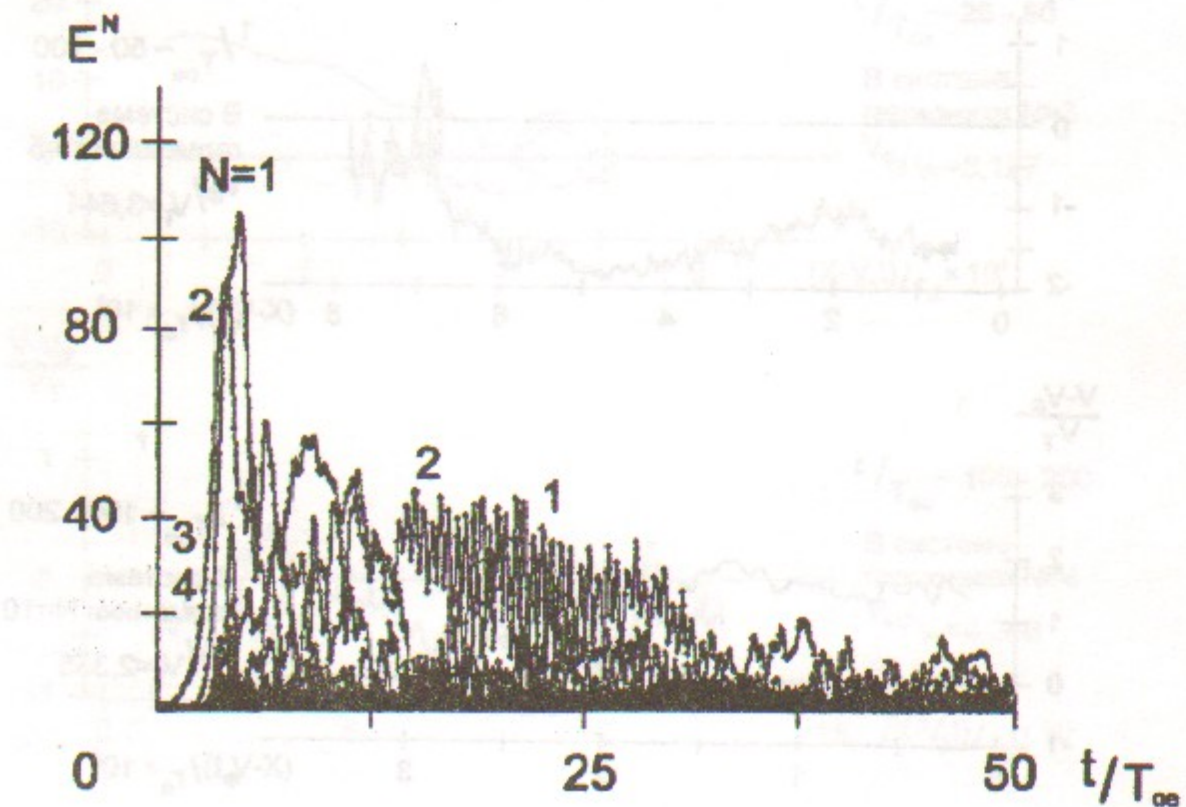


Рис. 17: Зависимость от времени амплитуды волны  $N = 1$  и гармоник  $N = 2 \div 10$ . Случай 1-6.

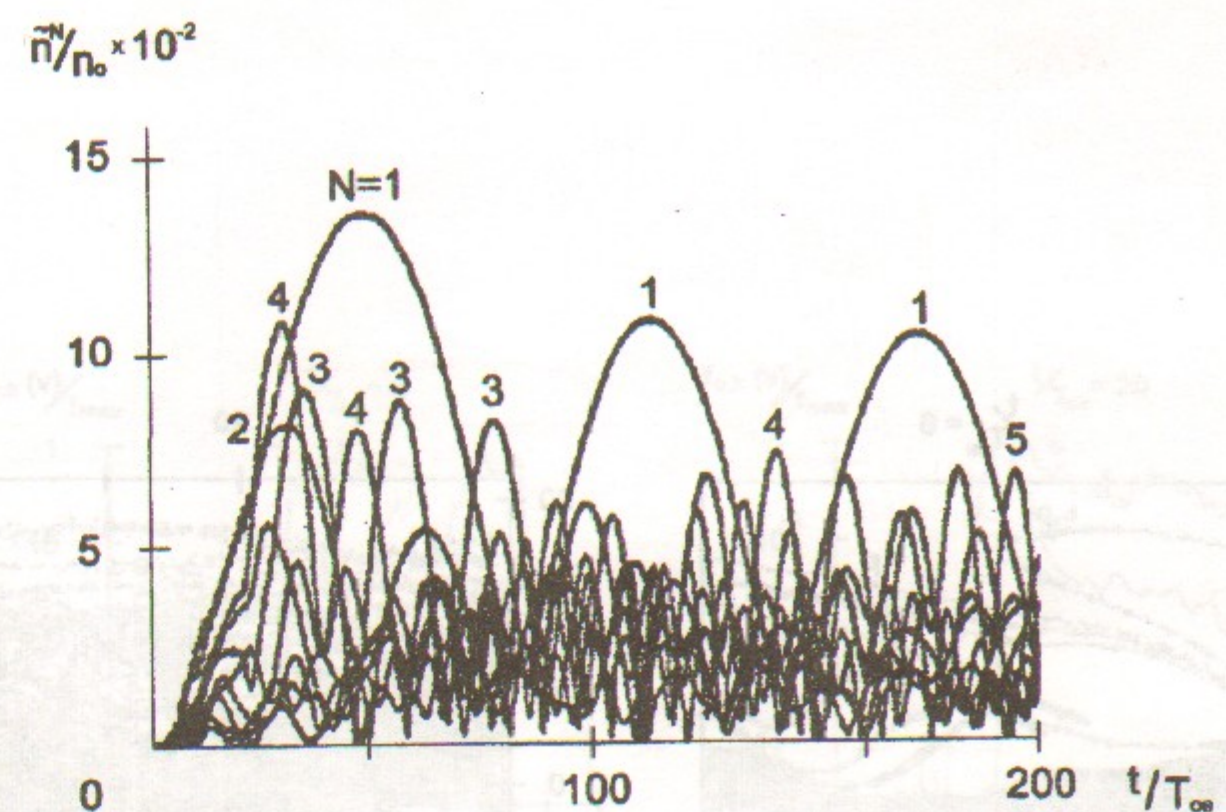


Рис. 18: Зависимость от времени амплитуды гармоник плотности ионов  $N_i = 1 \div 10$ . Случай 1-6.

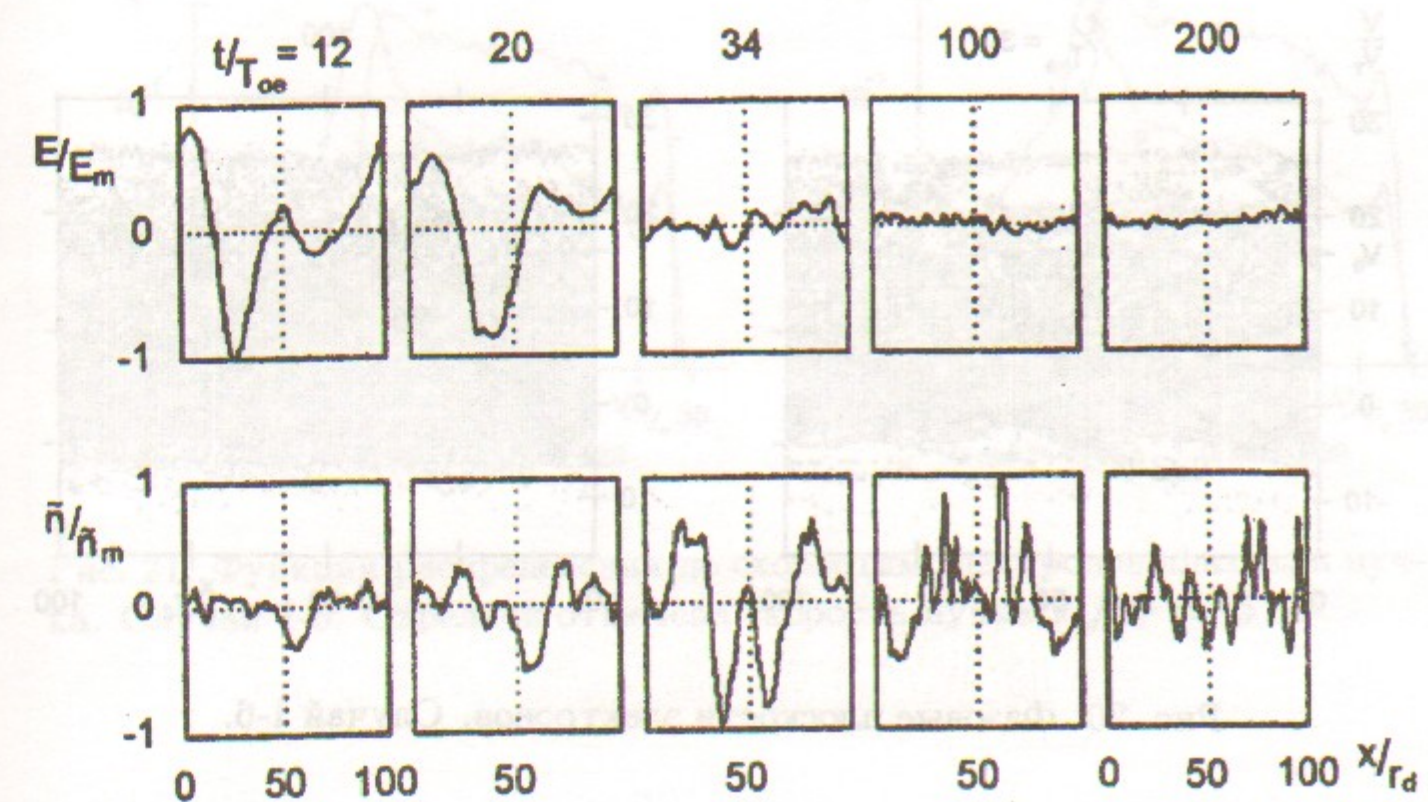


Рис. 19: Распределение поля  $E(x)$  и возмущения плотности плазмы  $\tilde{n}(x)$ . Случай 1-6.  $E_m = 93, 41, \tilde{n}_m/n_o = 0, 32$ .

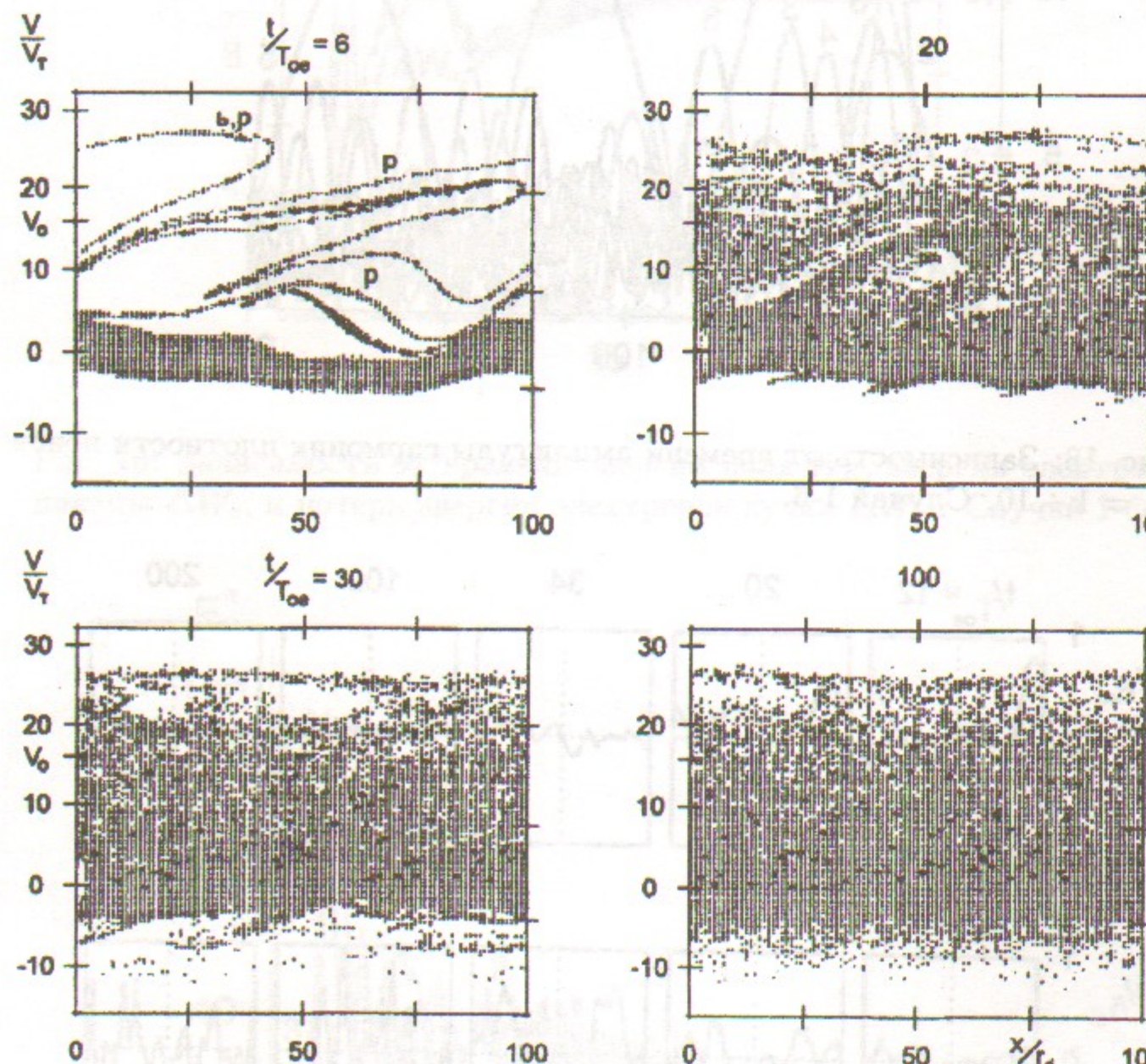


Рис. 20: Фазовые плоскости электронов. Случай 1-6.

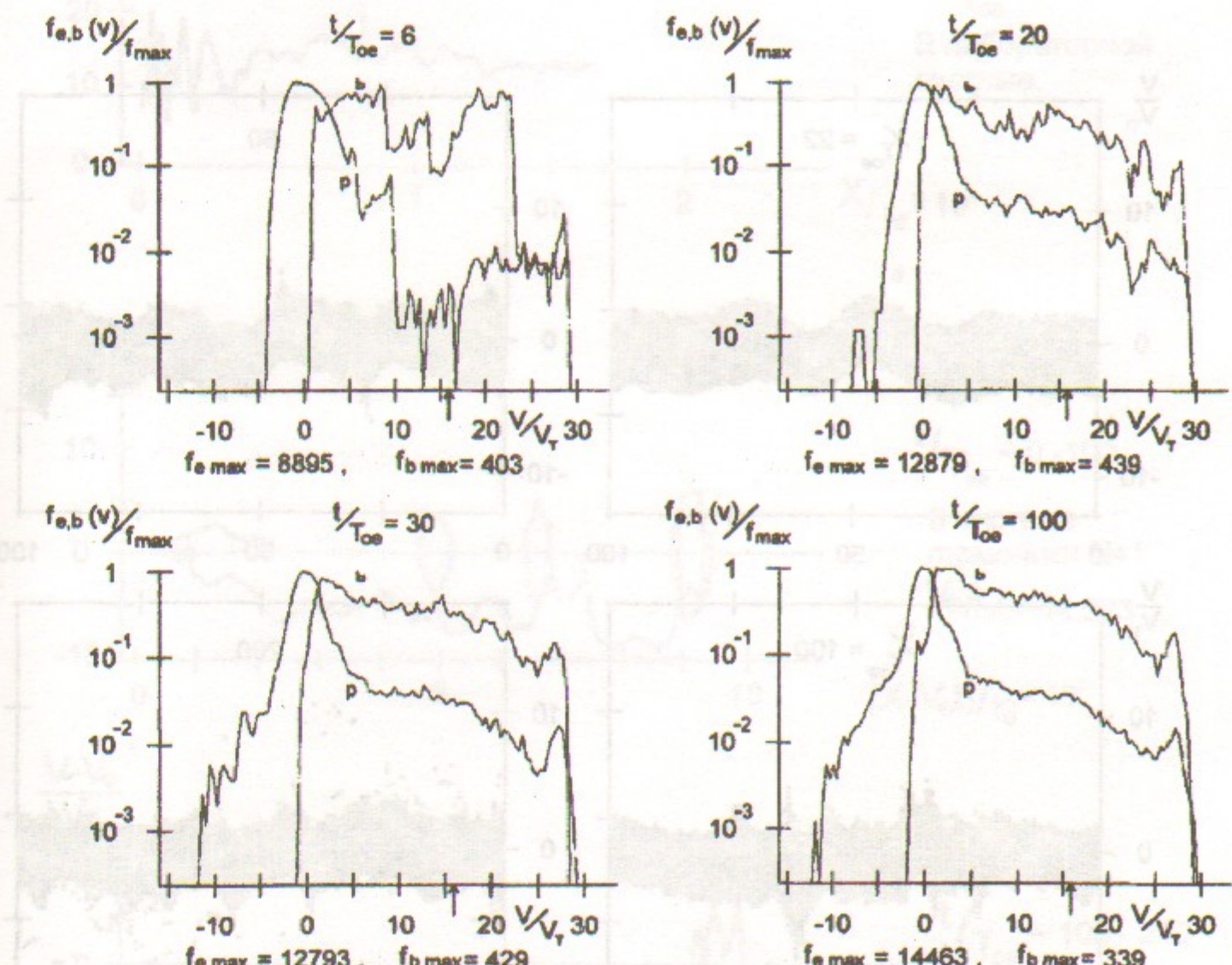


Рис. 21: Функции распределения по скоростям электронов плазмы и пучка. Случай 1-6. Стрелкой отмечена скорость пучка  $V_o/V_T = 15, 9$ .

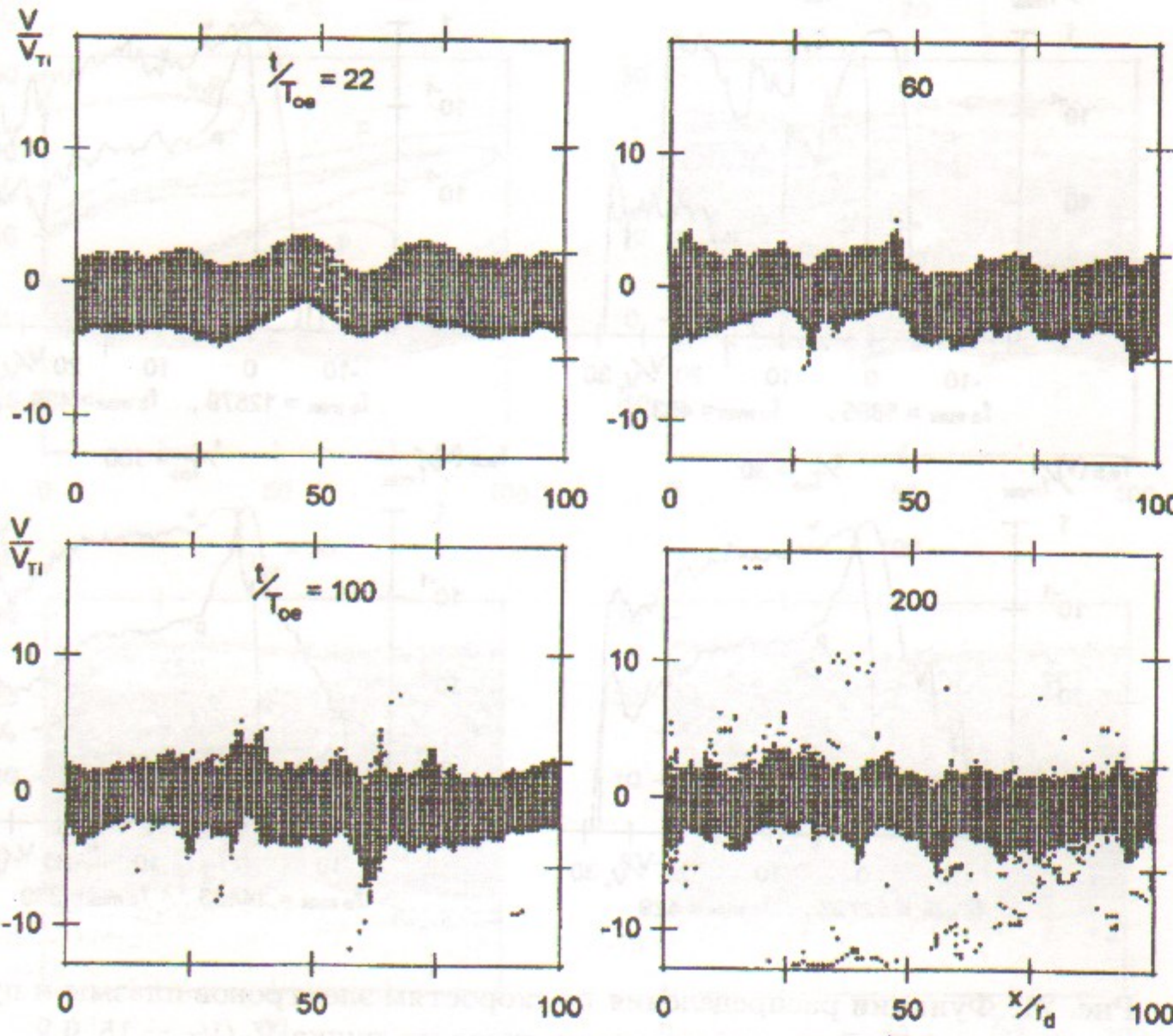


Рис. 22: Фазовые плоскости ионов. Случай 1-6.

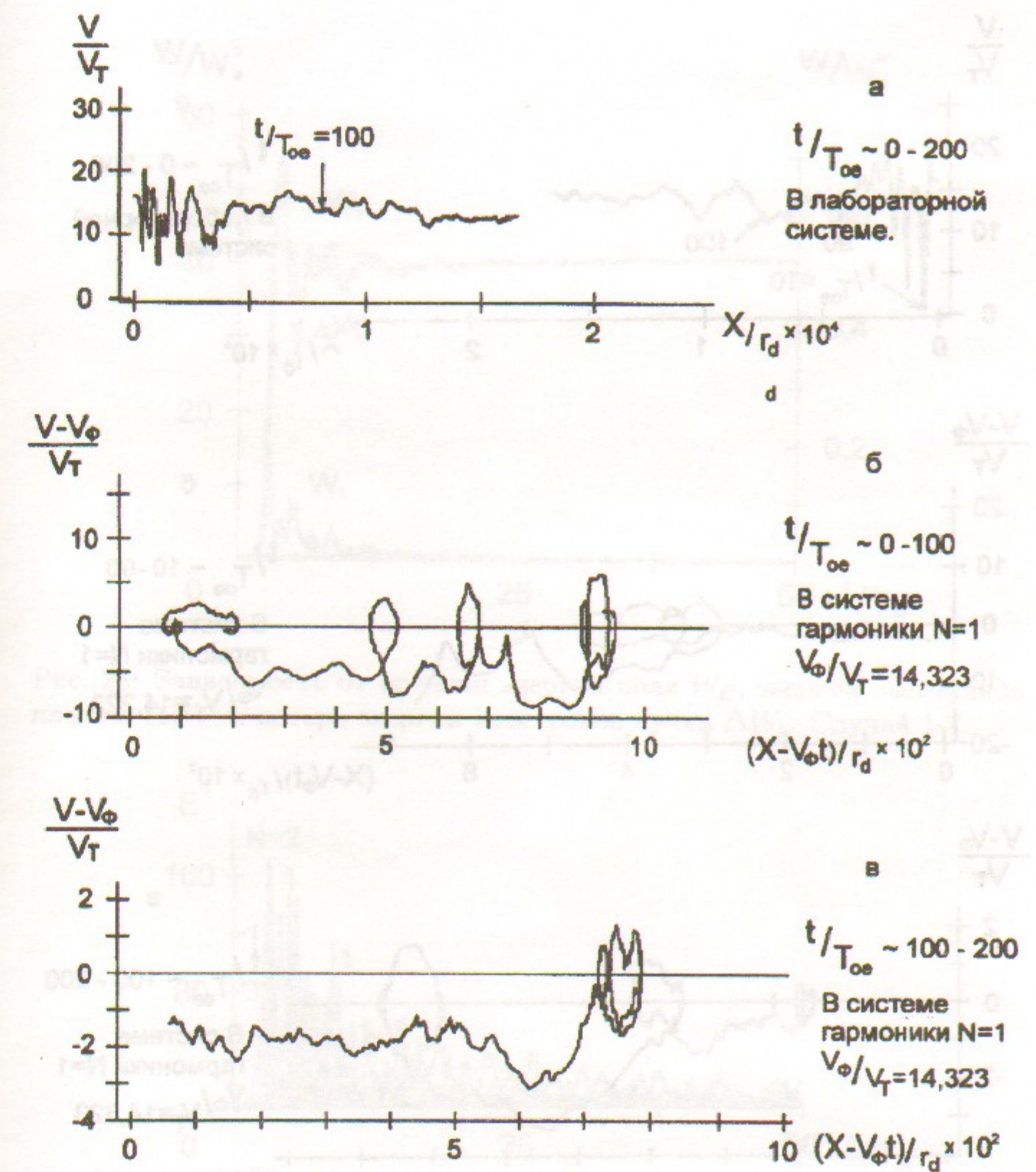


Рис. 23: Траектории частицы 1 на фазовой плоскости. Случай 1-6.  
 $x_o/r_d = 26, V_o/V_T = 15, 9$ .

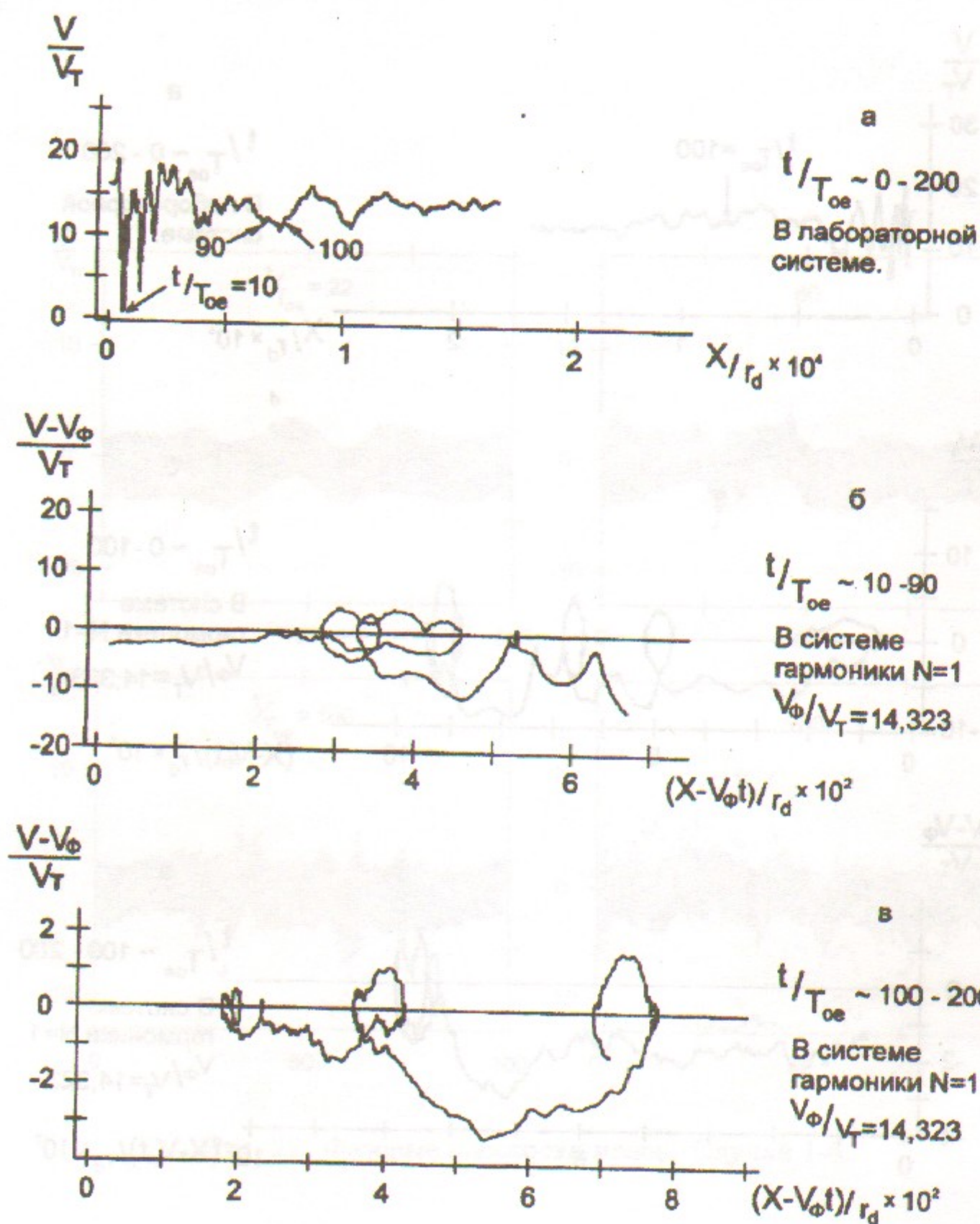


Рис. 24: Траектории частицы 2 на фазовой плоскости. Случай 1-6.  
 $x_o/r_d = 73, V_o/V_T = 15, 9.$

32

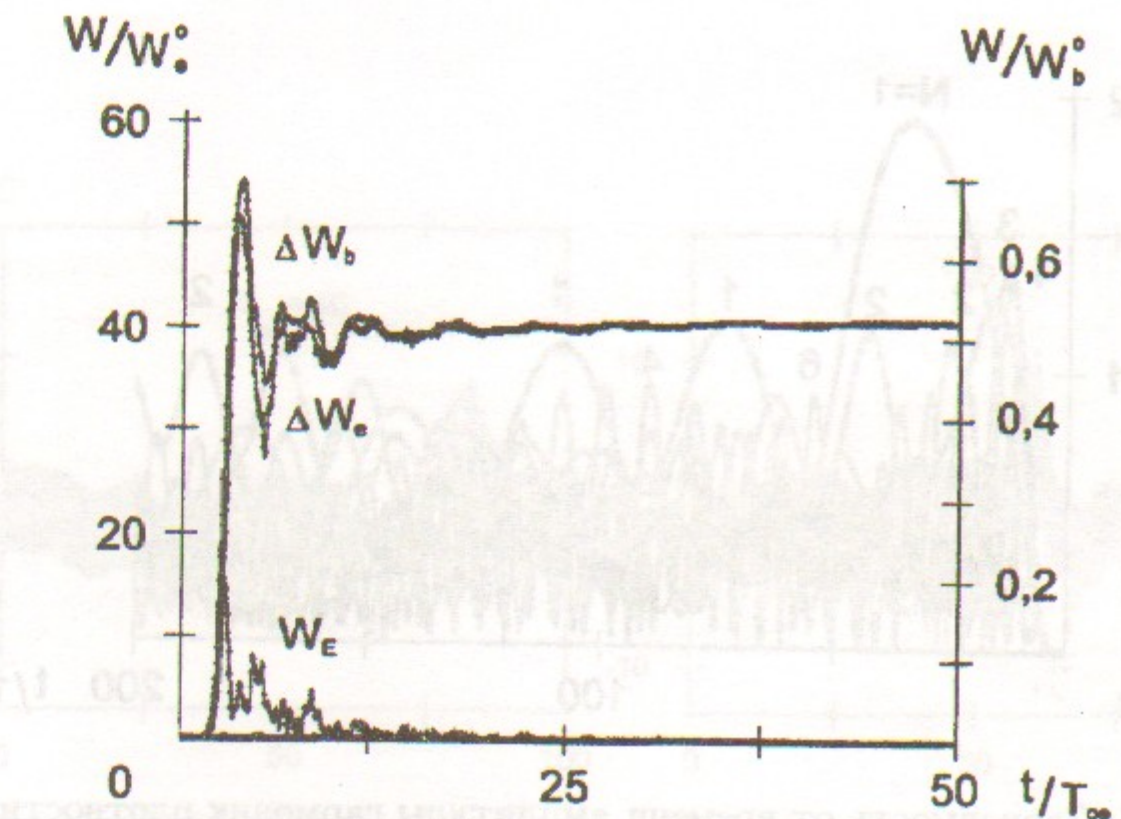


Рис. 25: Зависимость от времени энергии поля  $W_E$ , энергии электронов плазмы  $\Delta W_e$ , и потерь энергии электронов пучка  $\Delta W_b$ . Случай 1-7.

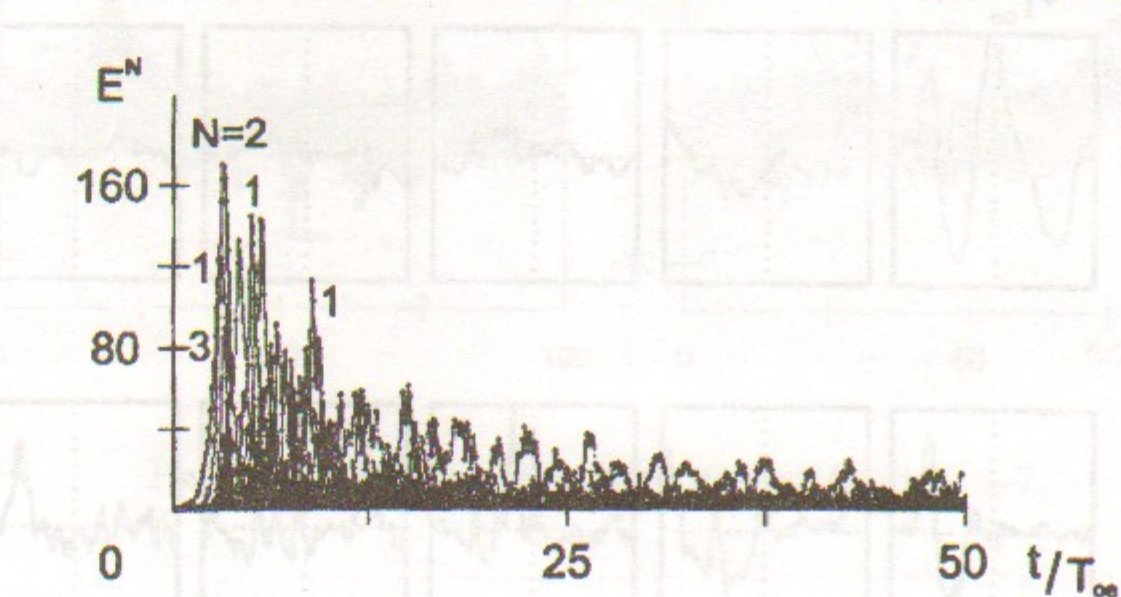


Рис. 26: Зависимость от времени амплитуды волны  $N = 1$  и гармоник  $N = 2 \div 30$ . Случай 1-7.

33

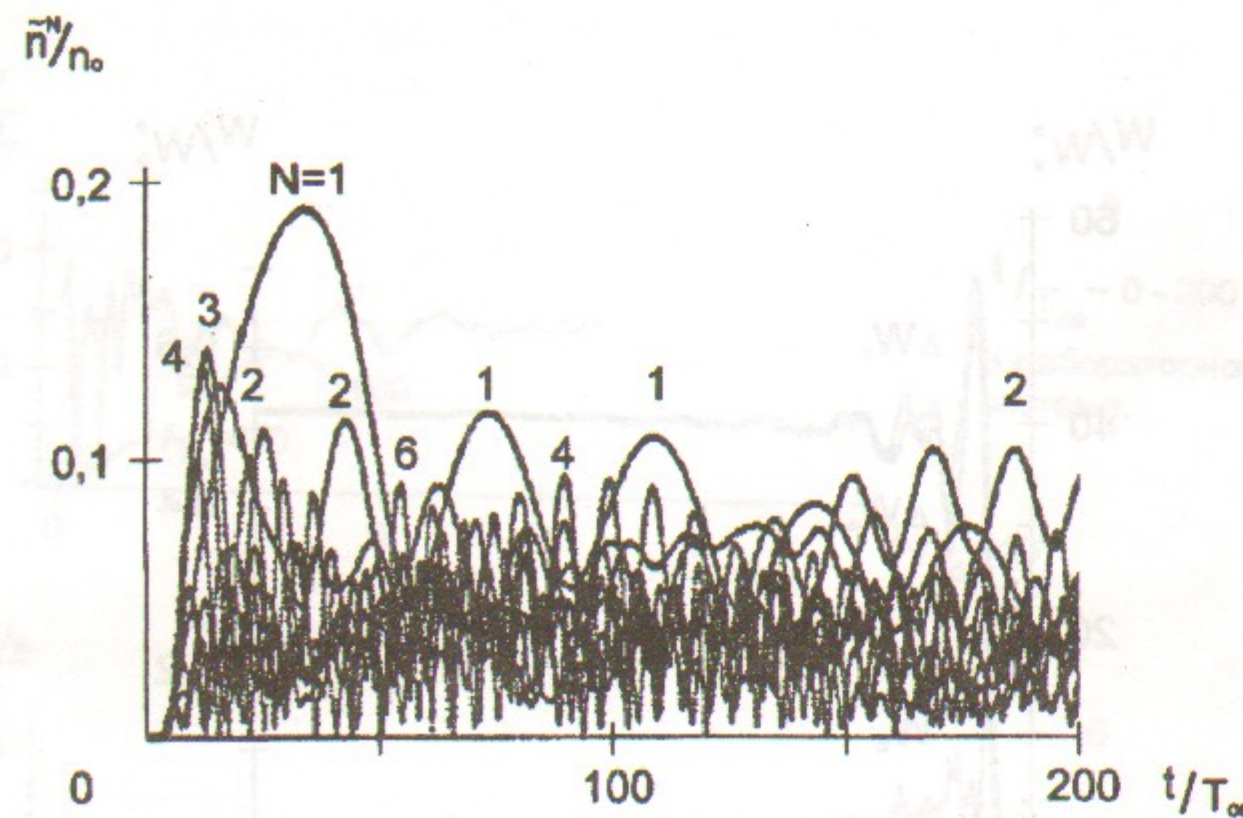


Рис. 27: Зависимость от времени амплитуды гармоник плотности ионов  $N_i = 1 \div 10$ . Случай 1-7.

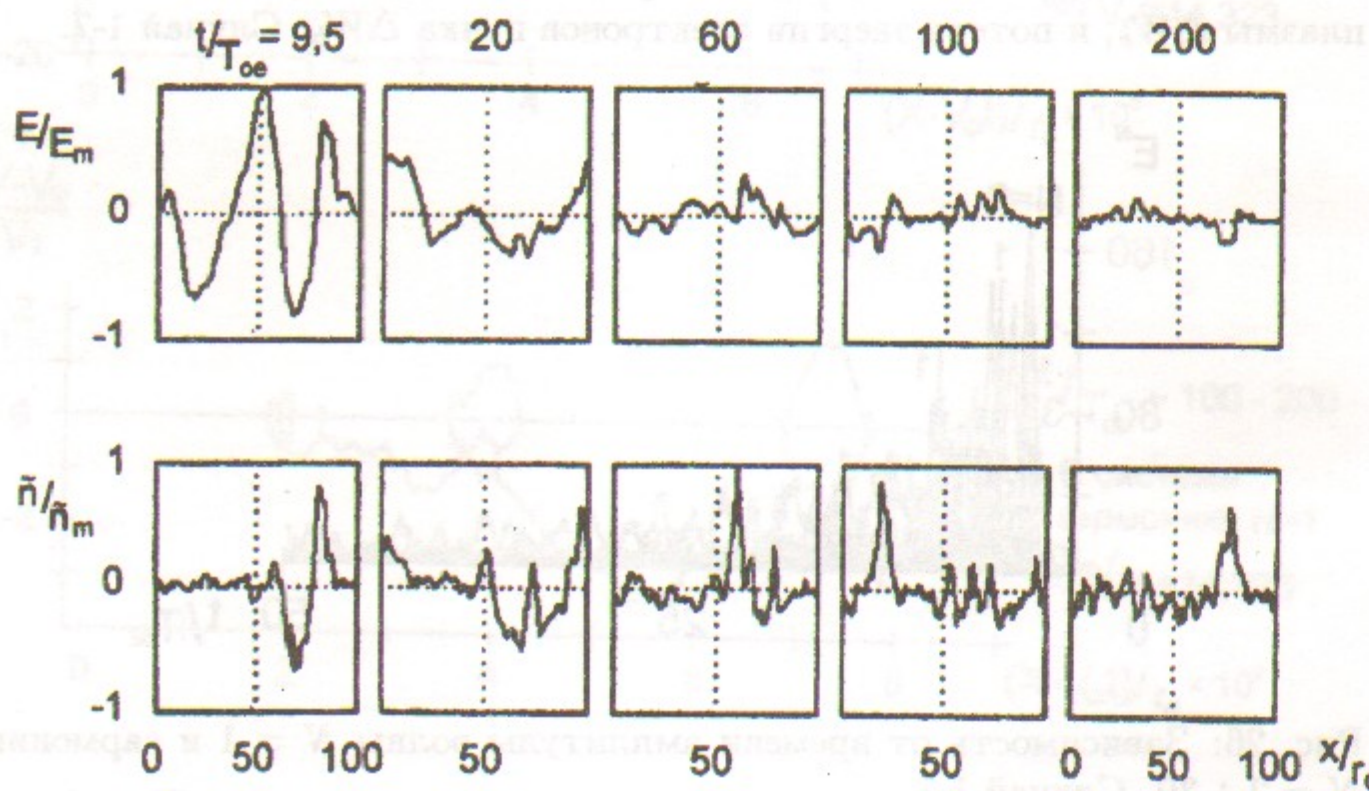


Рис. 28: Распределение поля  $E(x)$  и возмущения плотности плазмы  $\tilde{n}(x)$ . Случай 1-7.  $E_m = 72, 86$ ,  $\tilde{n}_m/n_0 = 0, 65$ .

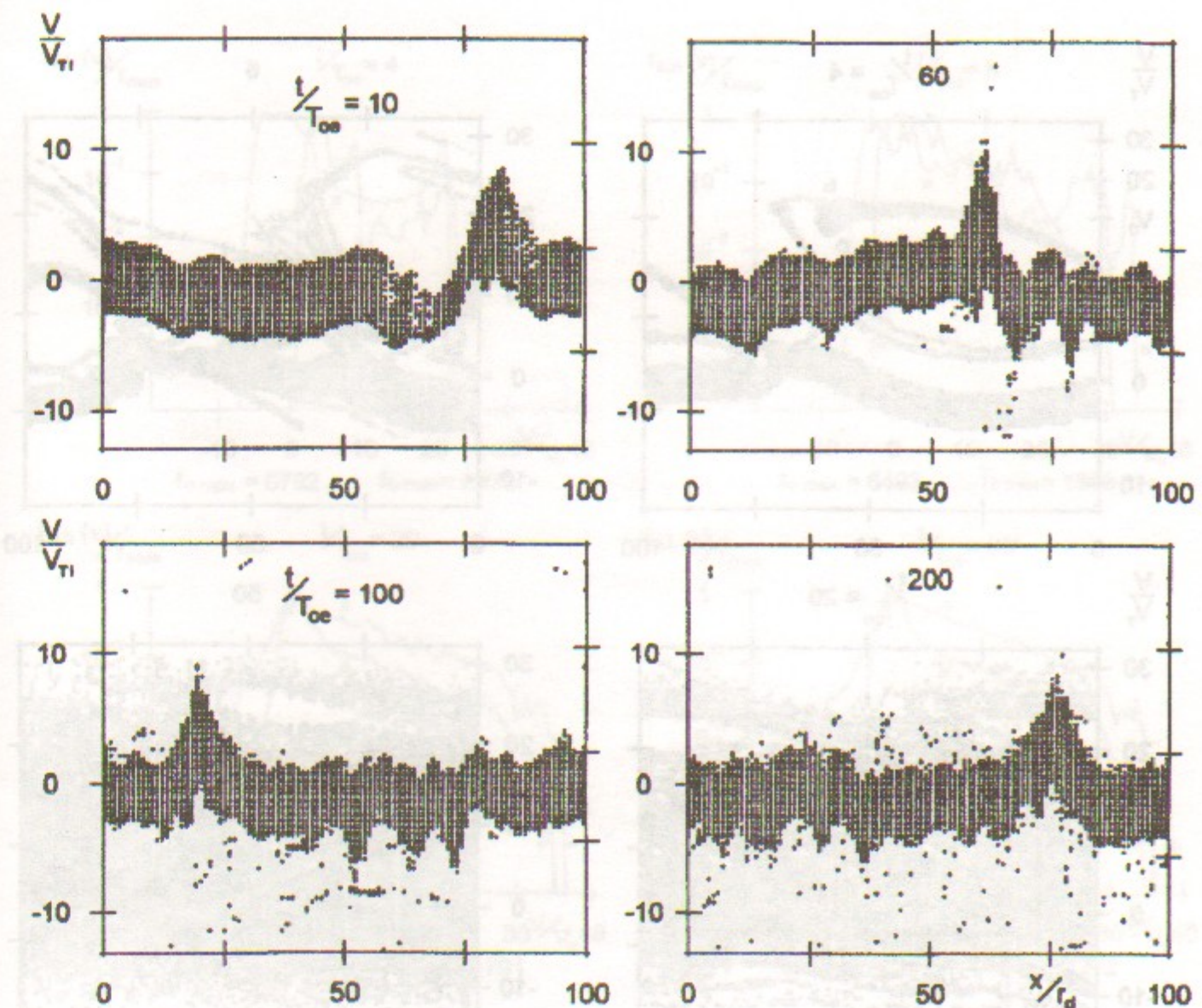


Рис. 29: Фазовые плоскости ионов. Случай 1-7.

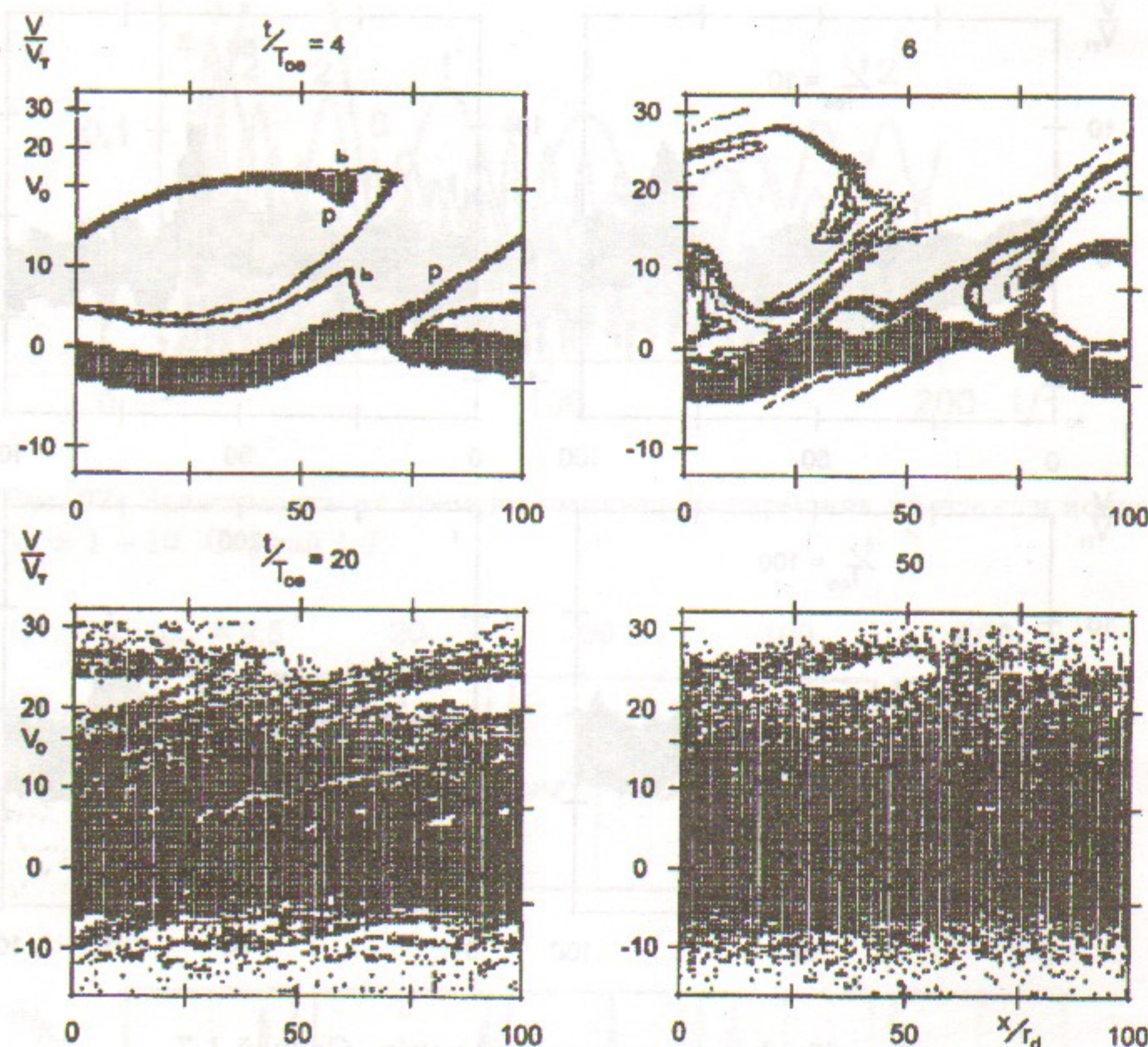


Рис. 30: Фазовые плоскости электронов. Случай 1-7.

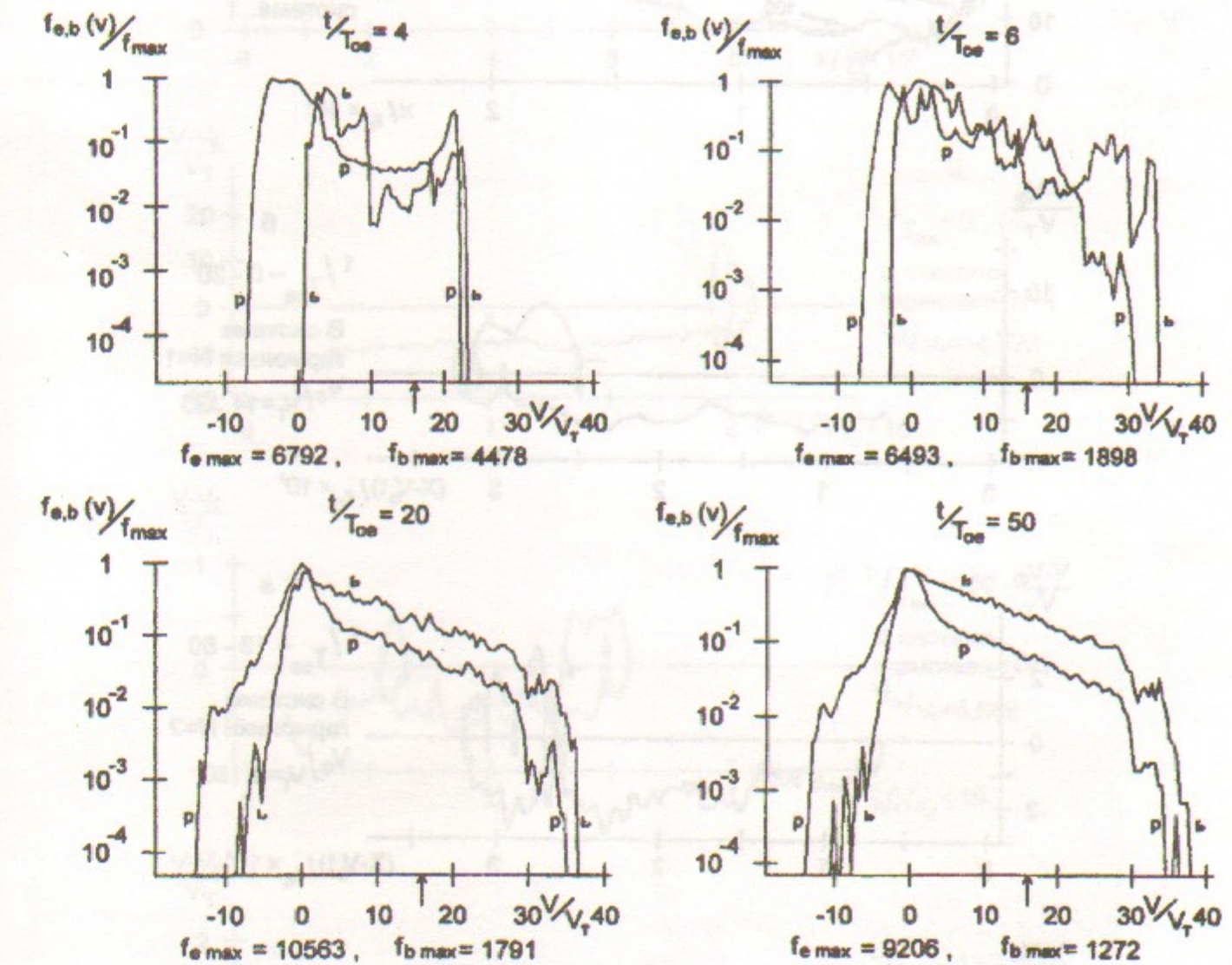


Рис. 31: Функции распределения по скоростям электронов плазмы и пучка. Случай 1-7. Стрелкой отмечена скорость пучка  $V_o/V_T = 15, 9$ .

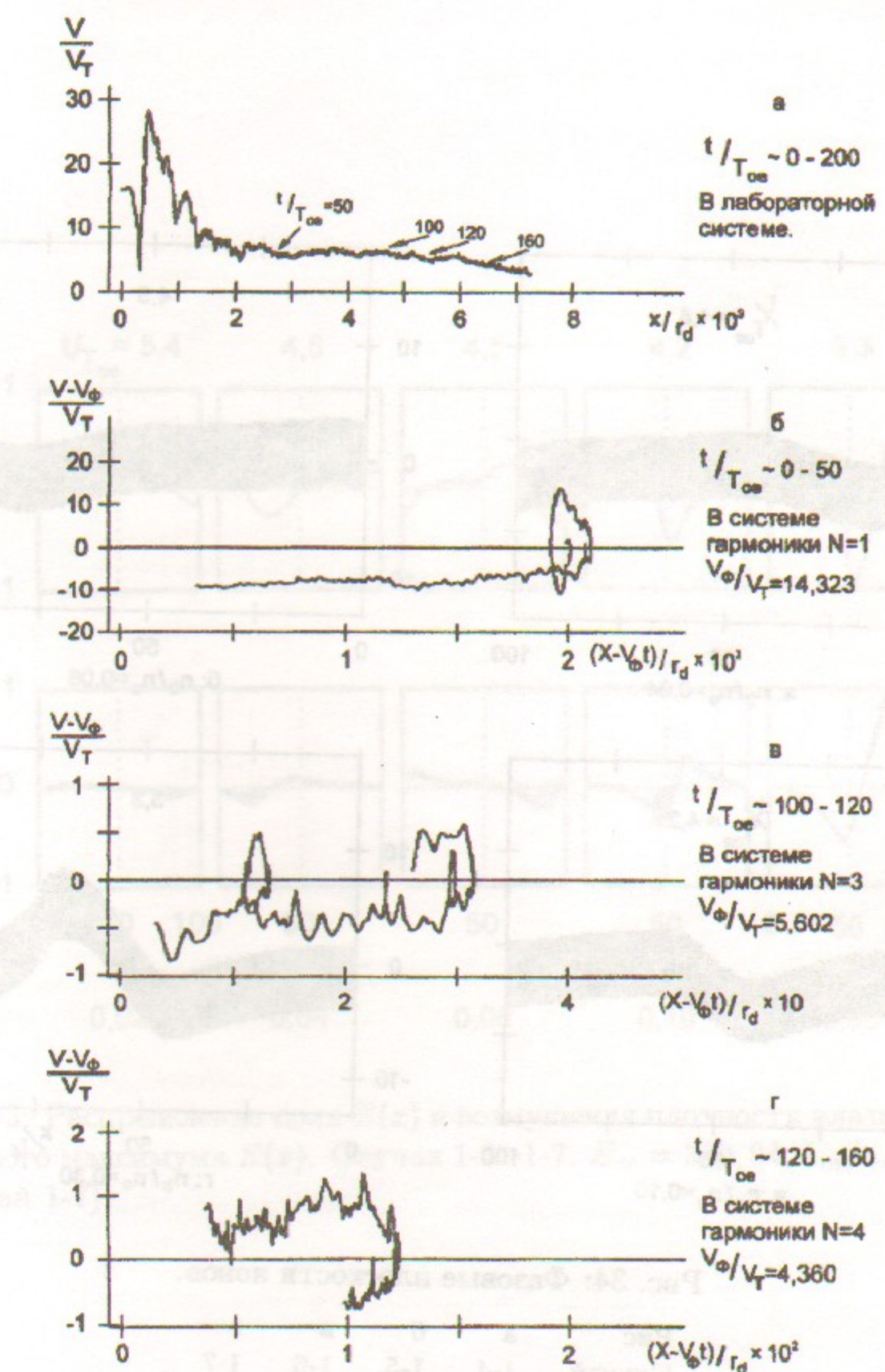
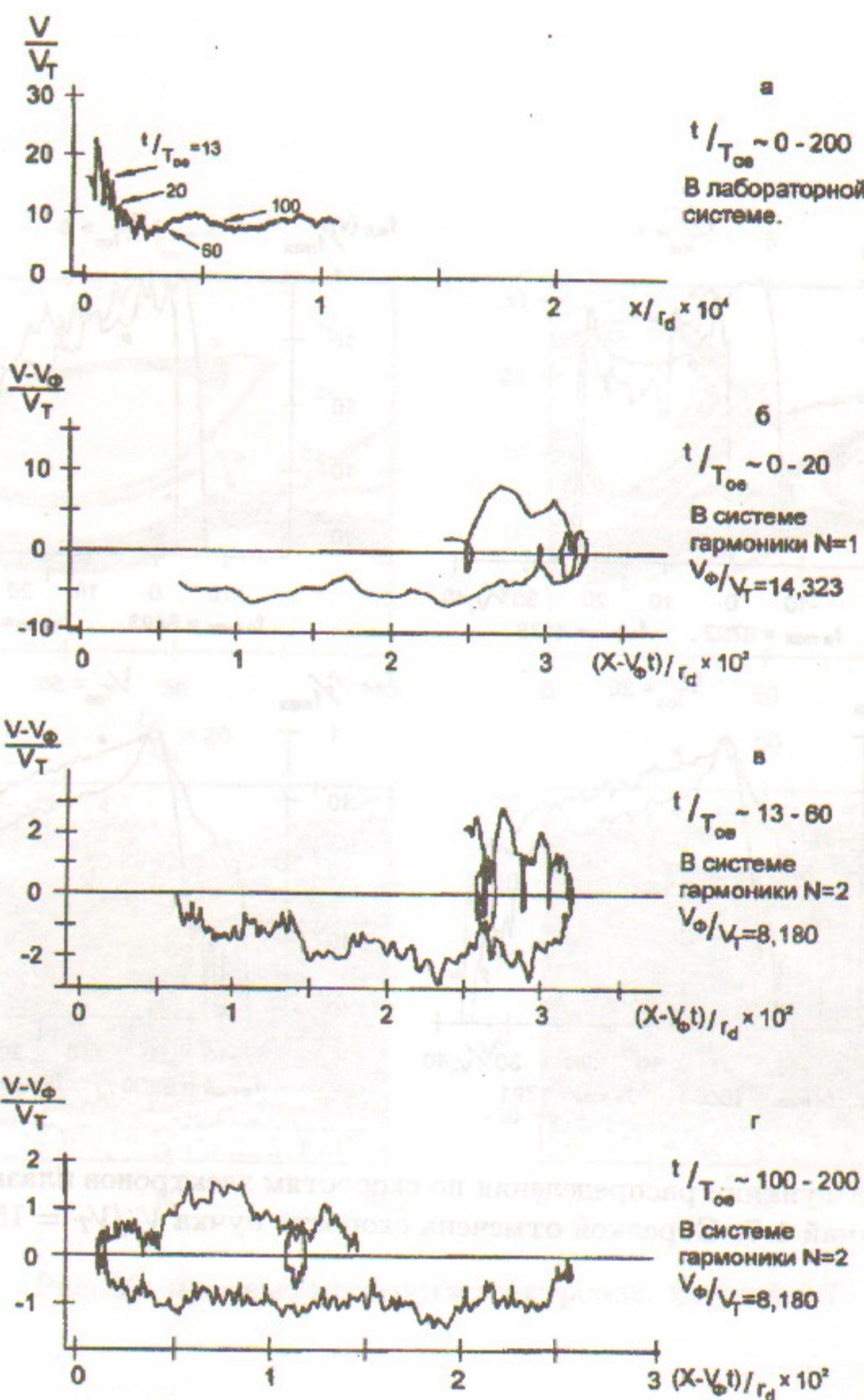


Рис. 33: Траектории частицы 2 на фазовой плоскости. Случай 1-7.  
 $x_o/r_d = 94, V_o/V_T = 15, 9.$

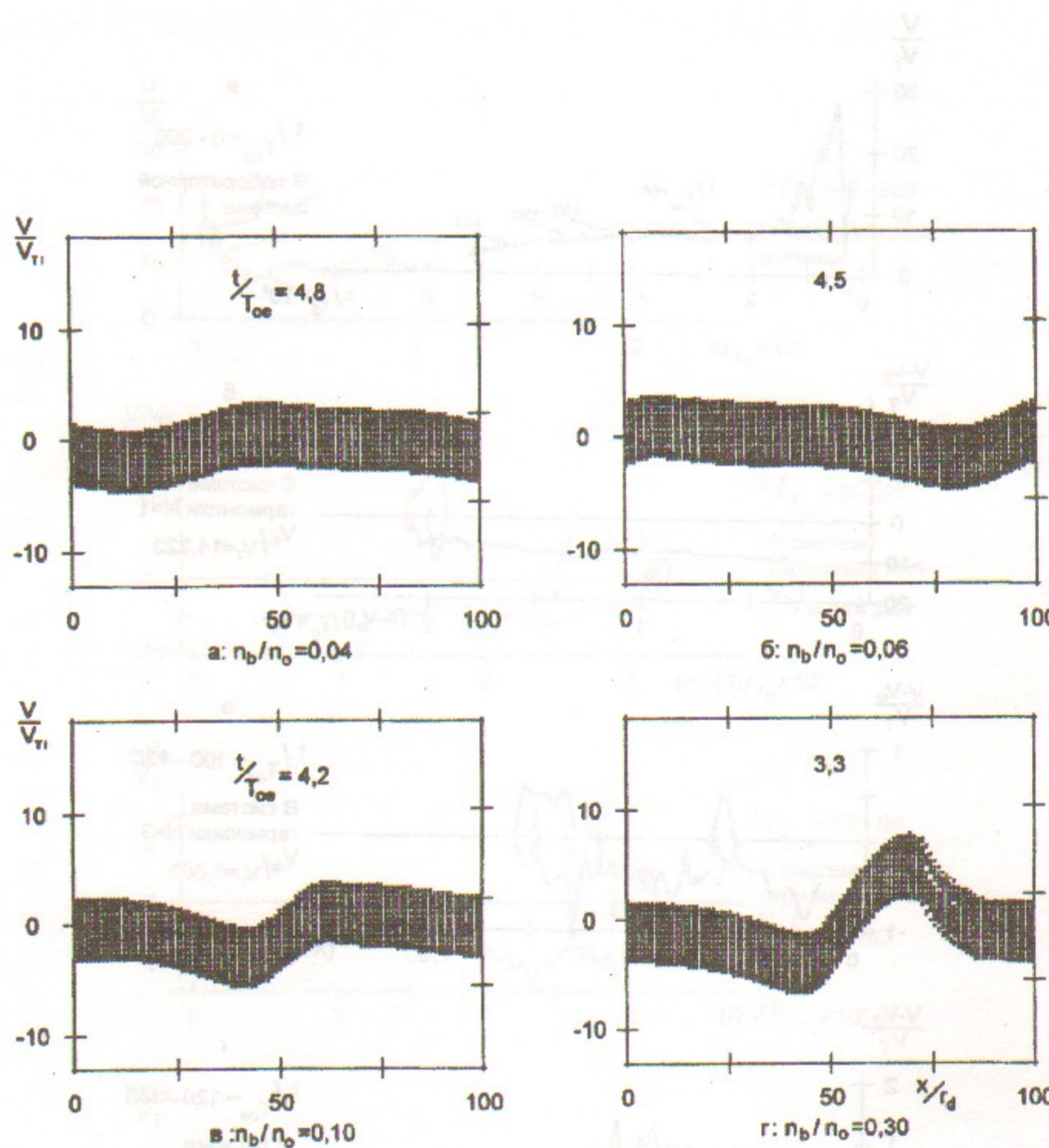


Рис. 34: Фазовые плоскости ионов.

Рис	а	б	в	г
Случай	1-4	1-5	1-6	1-7

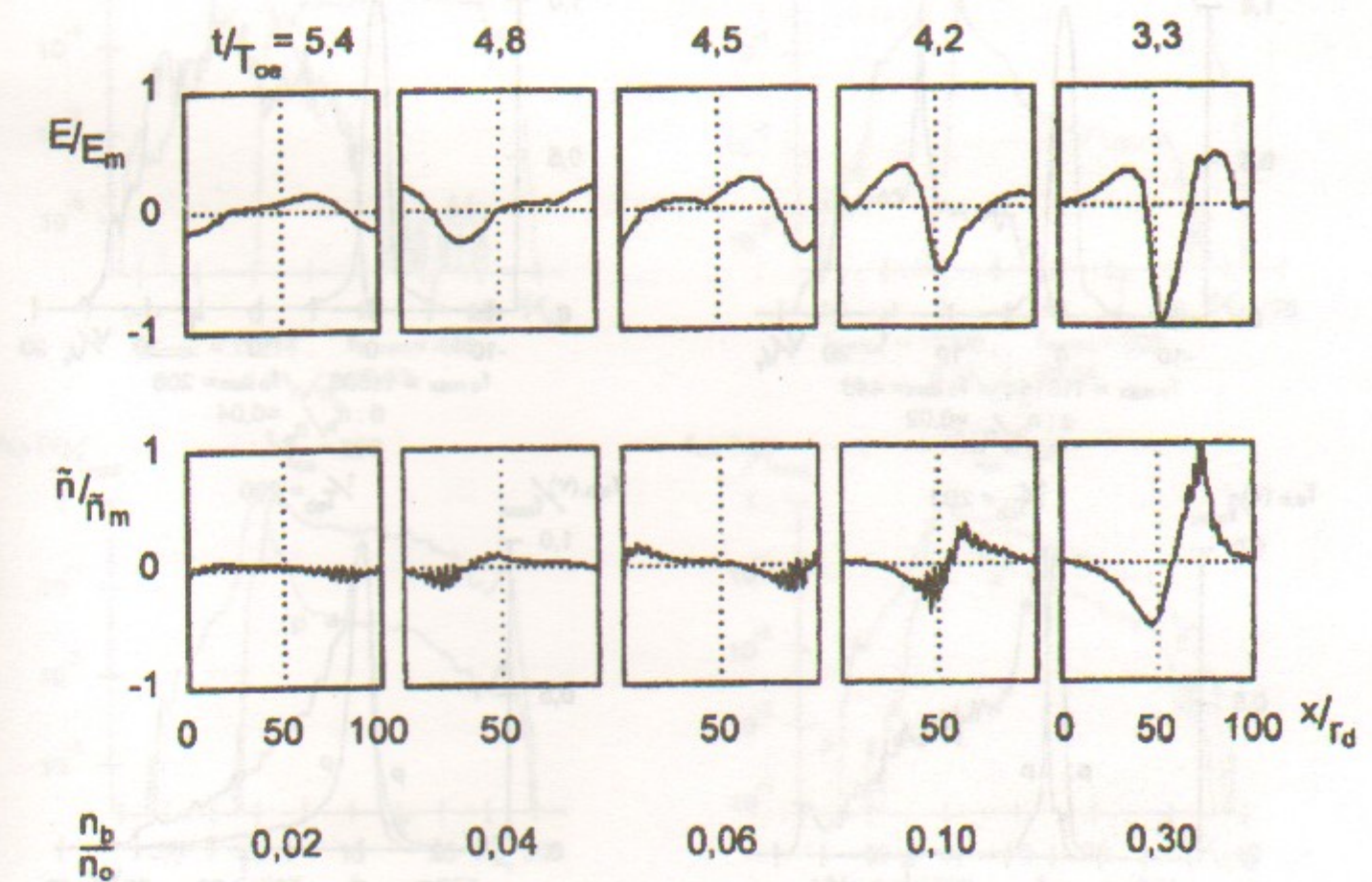


Рис. 35: Распределение поля  $E(x)$  и возмущения плотности плазмы  $\tilde{n}(x)$  в  $t$  первого максимума  $E(x)$ . Случаи 1-3÷1-7.  $E_m = 390, 94, \tilde{n}_m/n_o = 0, 018$  (случай 1-7).

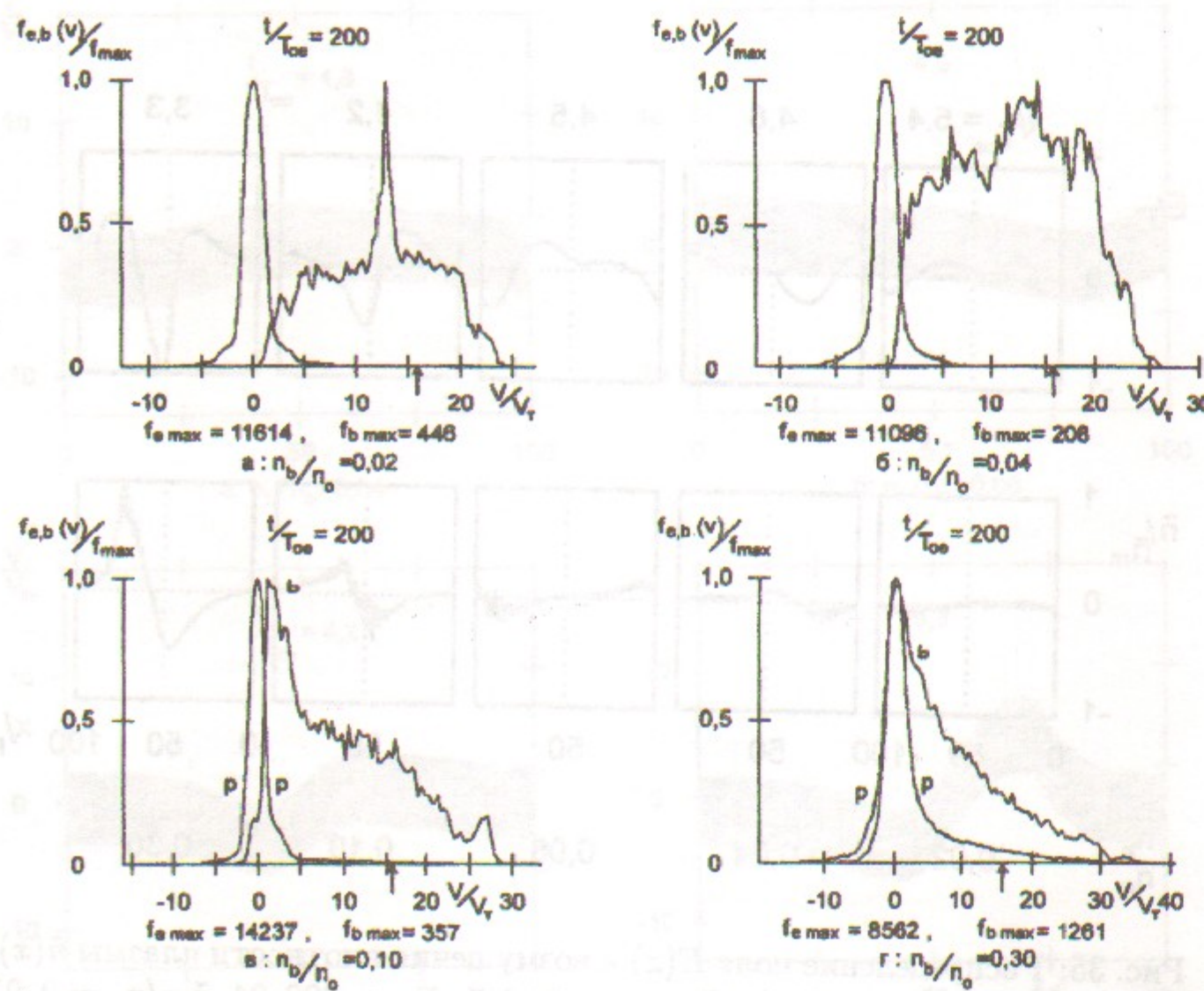


Рис. 36: Функции распределения по скоростям электронов плазмы и пучка в  $t/T_{oe} \sim 200$ .

Рис      а      б      в      г  
Случай    1-4    1-5    1-6    1-7  
Стрелкой отмечена скорость пучка  $V_o/V_T = 15,9$ .

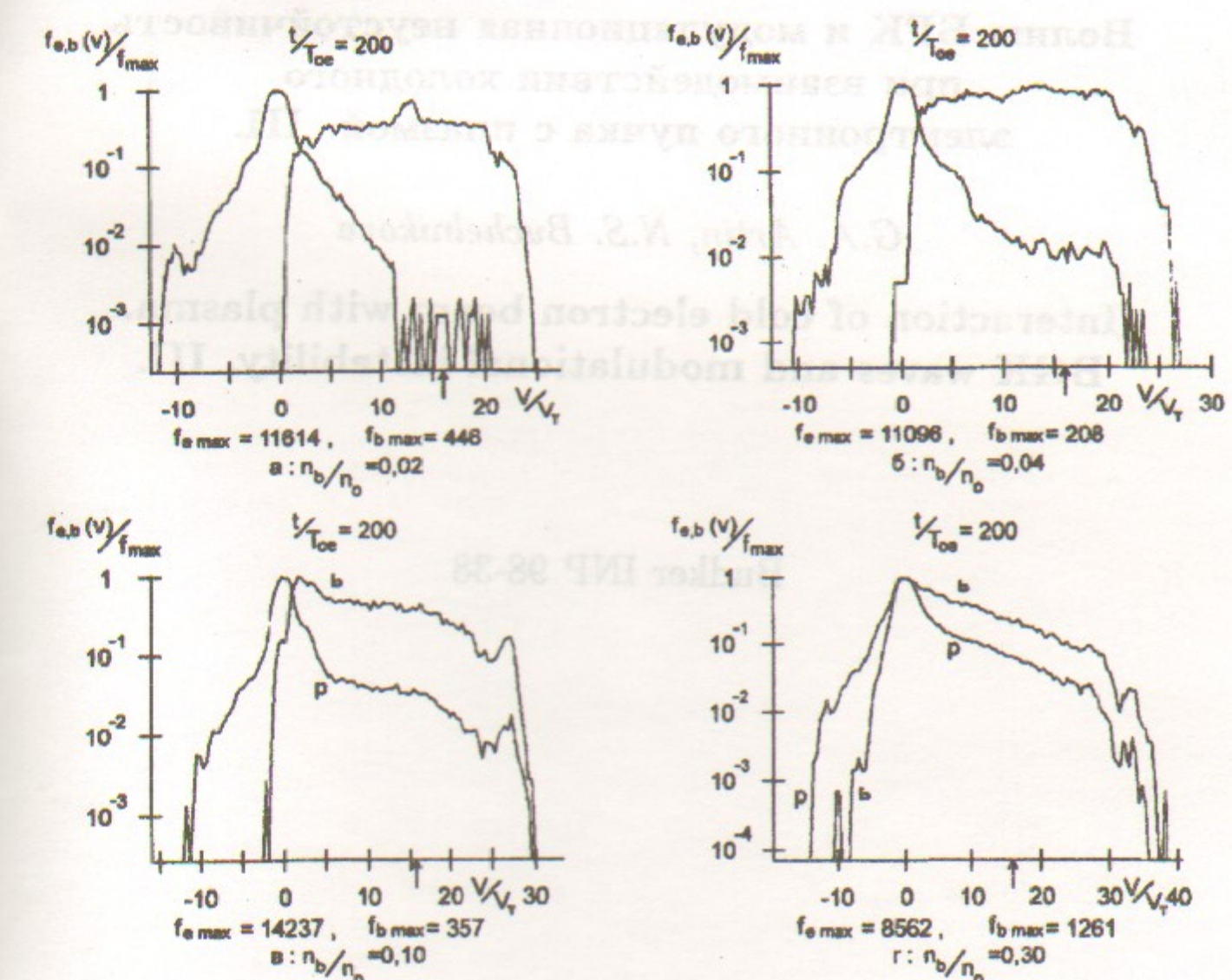


Рис. 37: Функции распределения по скоростям электронов плазмы и пучка в  $t/T_{oe} \sim 200$ .

Рис      а      б      в      г  
Случай    1-4    1-5    1-6    1-7  
Стрелкой отмечена скорость пучка  $V_o/V_T = 15,9$ .

*Г.А. Артин, Н.С. Бучельникова*

**Волны БГК и модуляционная неустойчивость  
при взаимодействии холодного  
электронного пучка с плазмой. III.**

*G.A. Artin, N.S. Buchelnikova*

**Interaction of cold electron beam with plasma.  
BGK waves and modulational instability. III.**

Budker INP 98-38

Ответственный за выпуск А.М. Кудрявцев

Работа поступила 3.06. 1998 г.

Сдано в набор 4.06.1998 г.

Подписано в печать 4.06.1998 г.

Формат бумаги 60×90 1/16 Объем 2.8 печ.л., 2.3 уч.-изд.л.

Тираж 140 экз. Бесплатно. Заказ № 38

Обработано на IBM PC и отпечатано на  
ротапринте ИЯФ им. Г.И. Будкера СО РАН,  
Новосибирск, 630090, пр. академика Лаврентьева, 11.